1893 - 2010 Laboratório de Topografia e Geodésia

Sistema de Posicionamento por Satélites Artificiais Conceitos e Aplicações

Prof. Dr. Edvaldo Simões da Fonseca Junior

EPUSP - PTR / LTG

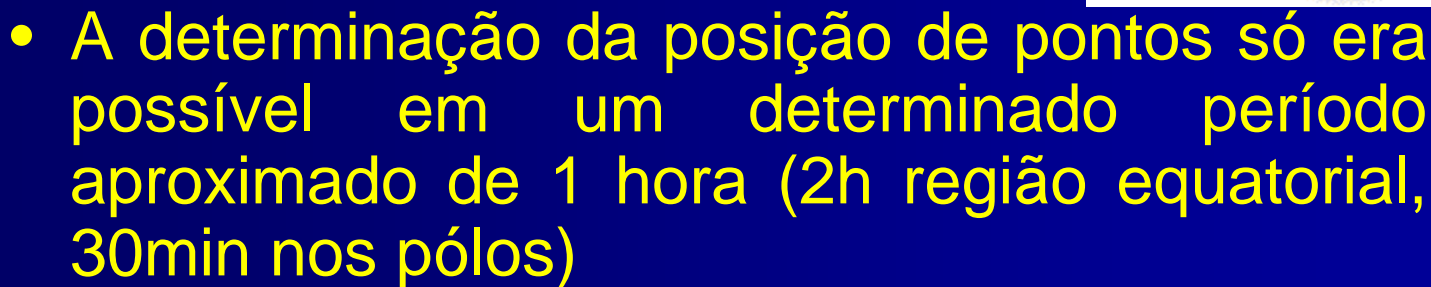
edvaldoj @ usp.br



1893 - 2010 Laboratório de Topografia e Geodésia

Histórico do sistema GNSS

- **Transit (NNSS TIMATION)**
 - Lançamento 1960
 - Princípio doppler
 - Precisão de 200m



 Não fornecia coordenadas tridimensionais (apenas latitude e longitude)





1893 - 2010 Laboratório de Topografia e Geodésia

Histórico do sistema GPS

- NAVigation System with Timing And Ranging / Global Positioning System.
 - Sistema de posicionamento desenvolvido pelo Departamento de Defesa dos Estados Unidos (década de 60). Fornece a posição e o tempo de modo instantâneo e contínuo sobre toda a superfície da Terra.



1893 - 2010

Laboratório de Topografia e Geodésia

Satélite GPS





1893 - 2010 Laboratório de Topografia e Geodésia

- Totalmente operacional em1995
- Estrutura
 - 27 satélites (24+3 sobressalentes) HOJE 27+3
 - 6 planos orbitais
 - 55° de inclinação dos planos orbitais relação ao plano do equador
 - 20.200 km de altura acima da superfície da Terra
 - 12 horas siderais para dar uma volta à Terra
 - até 5 horas acima do horizonte

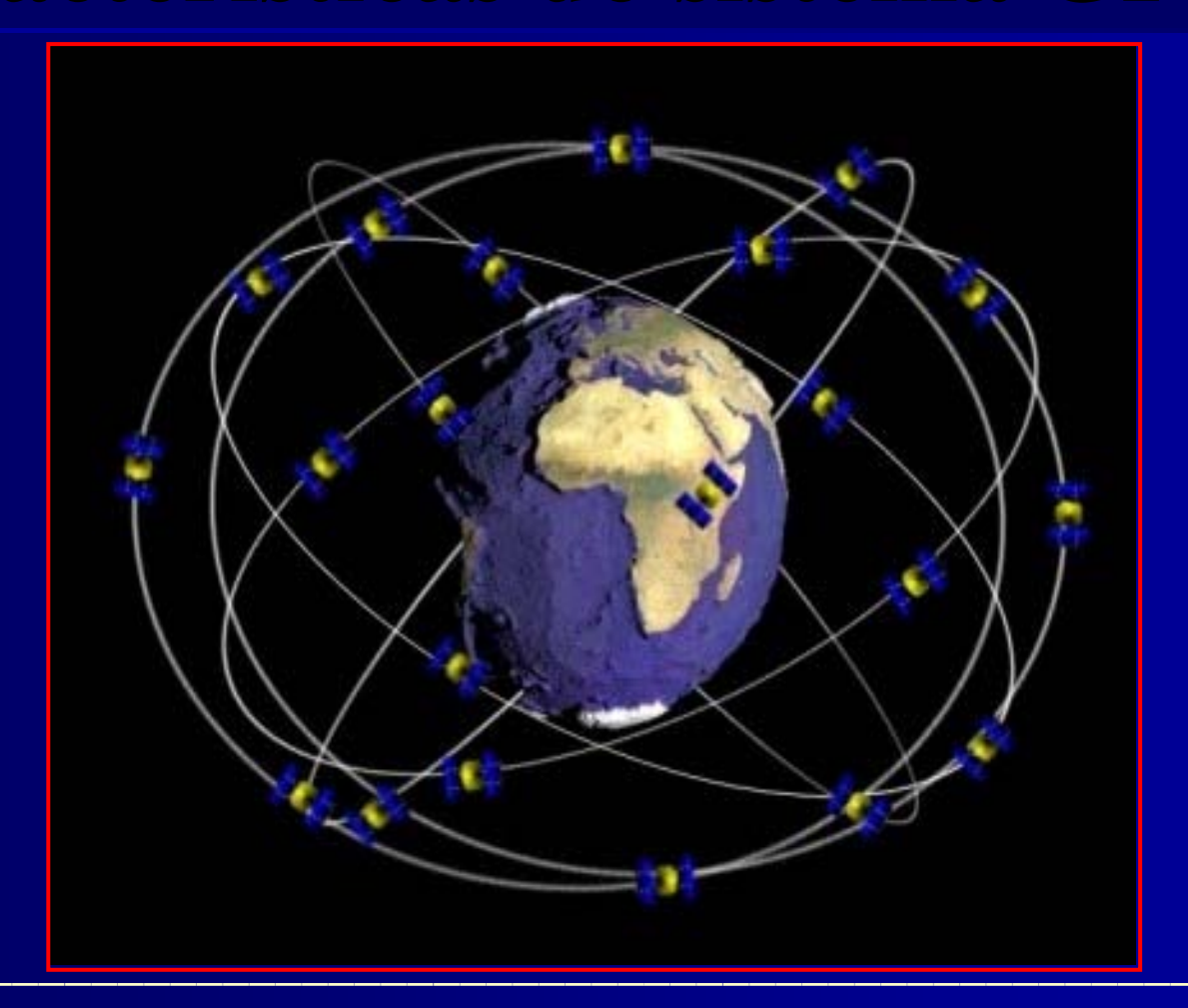


1893 - 2010 Laboratório de Topografia e Geodésia

- Arquitetura
 - Segmento espacial: Constelação de satélites
 - Segmento de controle: Responsável monitoramento do sistema de satélites e do tempo GPS, pela predição dos elementos orbitais e pela atualização periódica da mensagem de navegação.
 - Segmento de usuário: Posicionamento topográfico e geodésico; navegação aérea, marítima e terrestre.



1893 - 2010 Laboratório de Topografia e Geodésia





1893 - 2010 Laboratório de Topografia e Geodésia





1893 - 2010 Laboratório de Topografia e Geodésia

Características do sistema GPS

Diferentes tipos de receptores

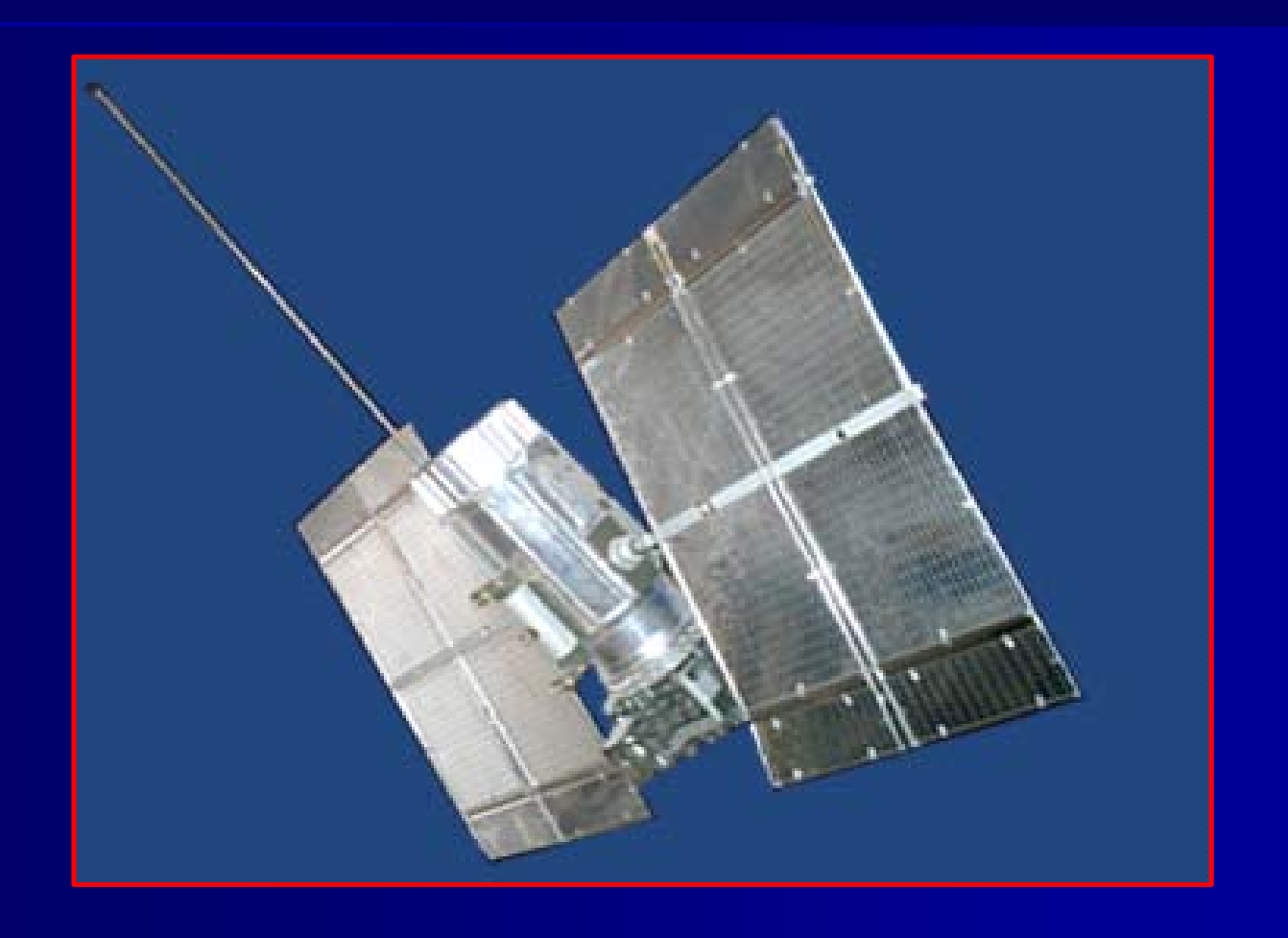






1893 - 2010 Laboratório de Topografia e Geodésia

Satélite GLONASS





1893 - 2010 Laboratório de Topografia e Geodésia

- 1º bloco lançado em 1982
- Estrutura
 - 24 satélites (Hoje há 21 satélites)
 - 3 planos orbitais
 - 64.8° de inclinação dos planos orbitais em relação ao plano do equador
 - 19.100 km de altura acima da superfície da Terra



1893 - 2010 Laboratório de Topografia e Geodésia

Sinais Transmitidos - GLONASS

2 portadoras com freqüências distintas:

Freqüências

L1 = 1602MHz $\Delta f1 = 562.5kHz$

L2 = 1246MHz $\Delta f1 = 437.5 kHz$

cada satélites possui uma frequência diferente:

L1 = 1602MHz + n 0.5625MHz

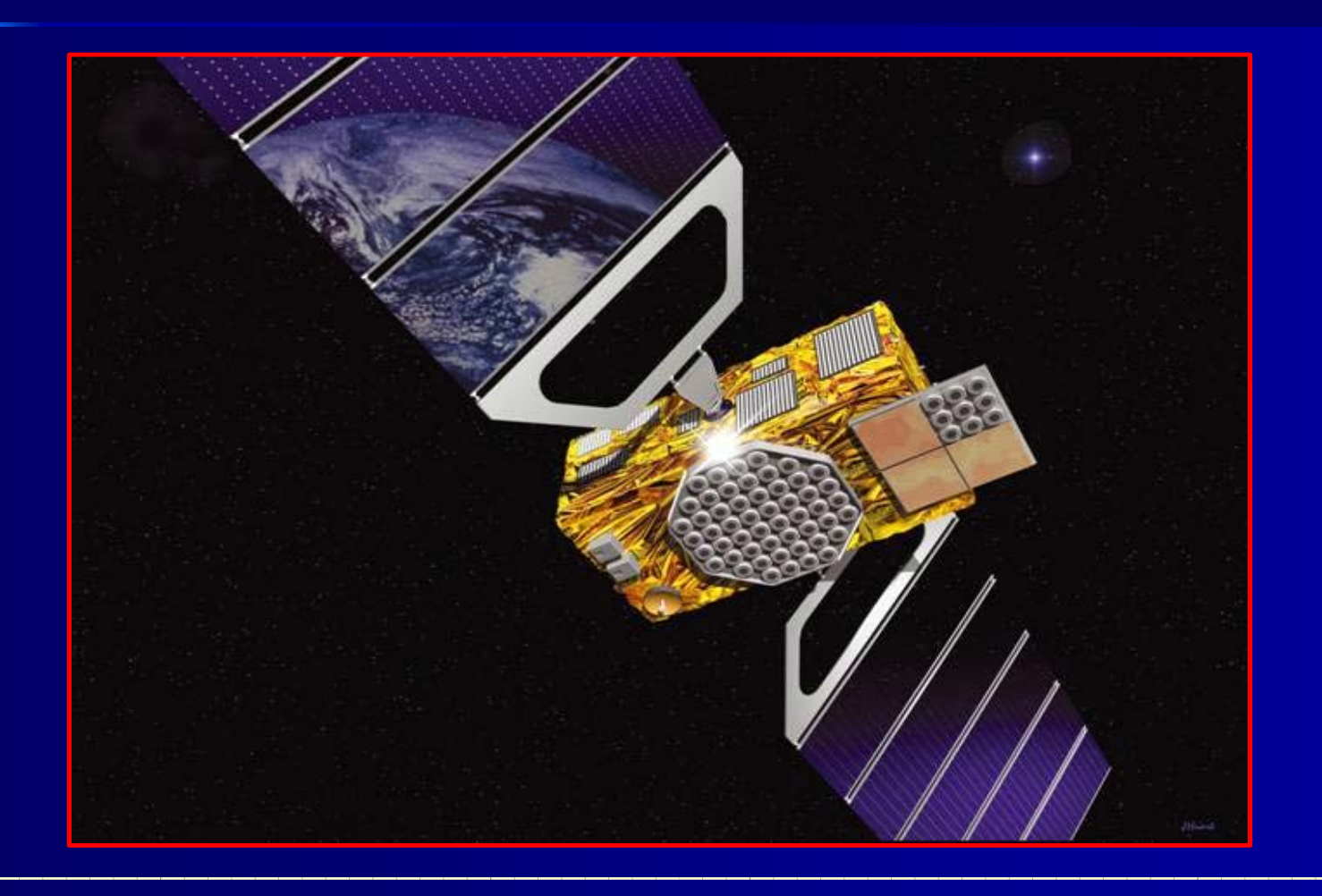
Onde n é o número correspondente ao satélite

- 2 tipos de sinais:
- Precisão padrão (SP) disponível para uso civil precisão de 57 a 70m horizontal (99,7%) 70 m vertical (99,7%)
- Alta precisão (HP) uso militar



1893 - 2010 Laboratório de Topografia e Geodésia

Satélite GALILEO





1893 - 2010 Laboratório de Topografia e Geodésia

Características do sistema GALILEO

Previsão: 2017 (primeiro satélite lançado em 28 de dezembro de 2005 e 0 segundo em 28 de abril de 2008)

Estrutura

- 30 satélites (27 + 3 sobressalentes)
- 3 planos orbitais
- 56° de inclinação dos planos orbitais em relação ao plano do equador
- 24.000 km de altura acima da superfície da **Terra**



1893 - 2010 Laboratório de Topografia e Geodésia

Sinais Transmitidos - GALILEO

2 portadoras com freqüências distintas:

E5 - 1164 - 1215 MHz

E6 - 1260 - 1300 MHz

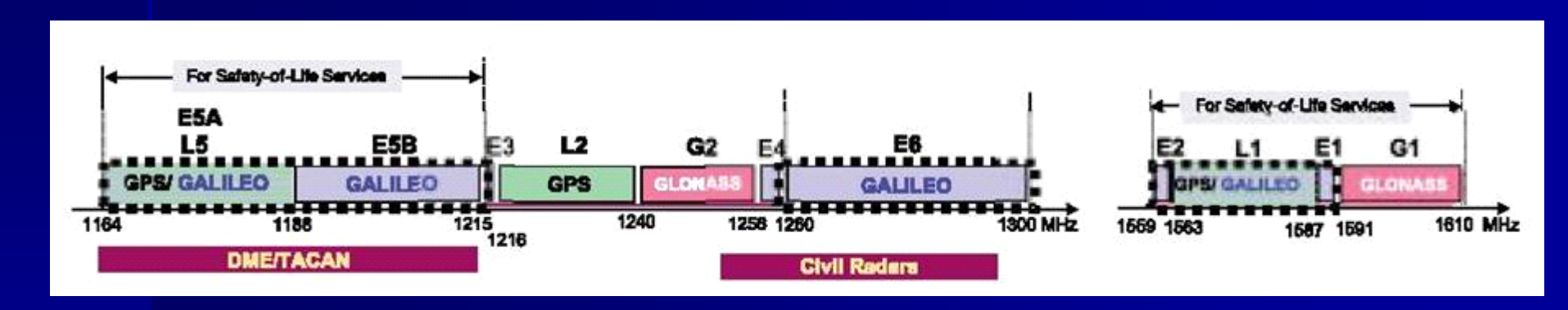
L1 - 1559 - 1593 MHz

- tipos de sinais:
- SERVIÇO ABERTO (OS)
- SERVIÇO DE SEGURANÇA DA VIDA (SoL)
- SERVIÇO COMERCIAL (CS)
- SERVIÇO REGULADO AO PÚBLICO (PRS)
- SERVIÇO DE PROCURA E RESGATE (SAR)



1893 - 2010 Laboratório de Topografia e Geodésia

Bandas dos Sistemas





1893 - 2010 Laboratório de Topografia e Geodésia

Sinais Transmitidos (Pós modernização)

- 2 portadoras com freqüências distintas:
 - L1 = 154 x 10,23 MHz = 1575,42 MHz
 - \blacksquare L2 = 120 x 10,23 MHz = 1227,60 MHz
 - $L5 = 115 \times 10,23 \text{ MHz} = 1176,45 \text{ MHz}$
 - comprimentos de onda de 19,05 cm, 24,45 cm e 23,43 cm respectivamente.
 - Banda L1: 1563,42 1587,42
 - Banda L2: 1215,60 1239,60
 - Banda L5: 1164,45 1188,45



1893 - 2010 Laboratório de Topografia e Geodésia

Sinais Transmitidos (Pós modernização)

- Códigos:
 - C/A (Clear Access): usado na navegação em geral.
 - P (Y) (Precision): restrito aos militares
 - L2C
 - M: restrito aos militares
 - L1C





1893 - 2010 Laboratório de Topografia e Geodésia

Frequencia	Fase	Uso original	Uso pós modernização
L1 (1575.42 MHz)	In-Phase (I)	Encrypted Precision P(Y) code	Encrypted Precision P(Y) code
	Quadrature-Phase (Q)	Coarse-acquisition (C/A) code	Coarse-acquisition (C/A) code and L1 Civilian code and Military (M) code
L2 (1227.60 MHz)	In-Phase (I)	Encrypted Precision P(Y) code	Encrypted Precision P(Y) code
	Quadrature-Phase (Q)		L2 Civilian (L2C) code and Military (M) code
L5 (1176.45 MHz)	In-Phase (I)		Safety-of-Life (SoL) Data signal
	Quadrature-Phase (Q)		Safety-of-Life (SoL) Pilot signal

1893 - 2010 Laboratório de Topografia e Geodésia

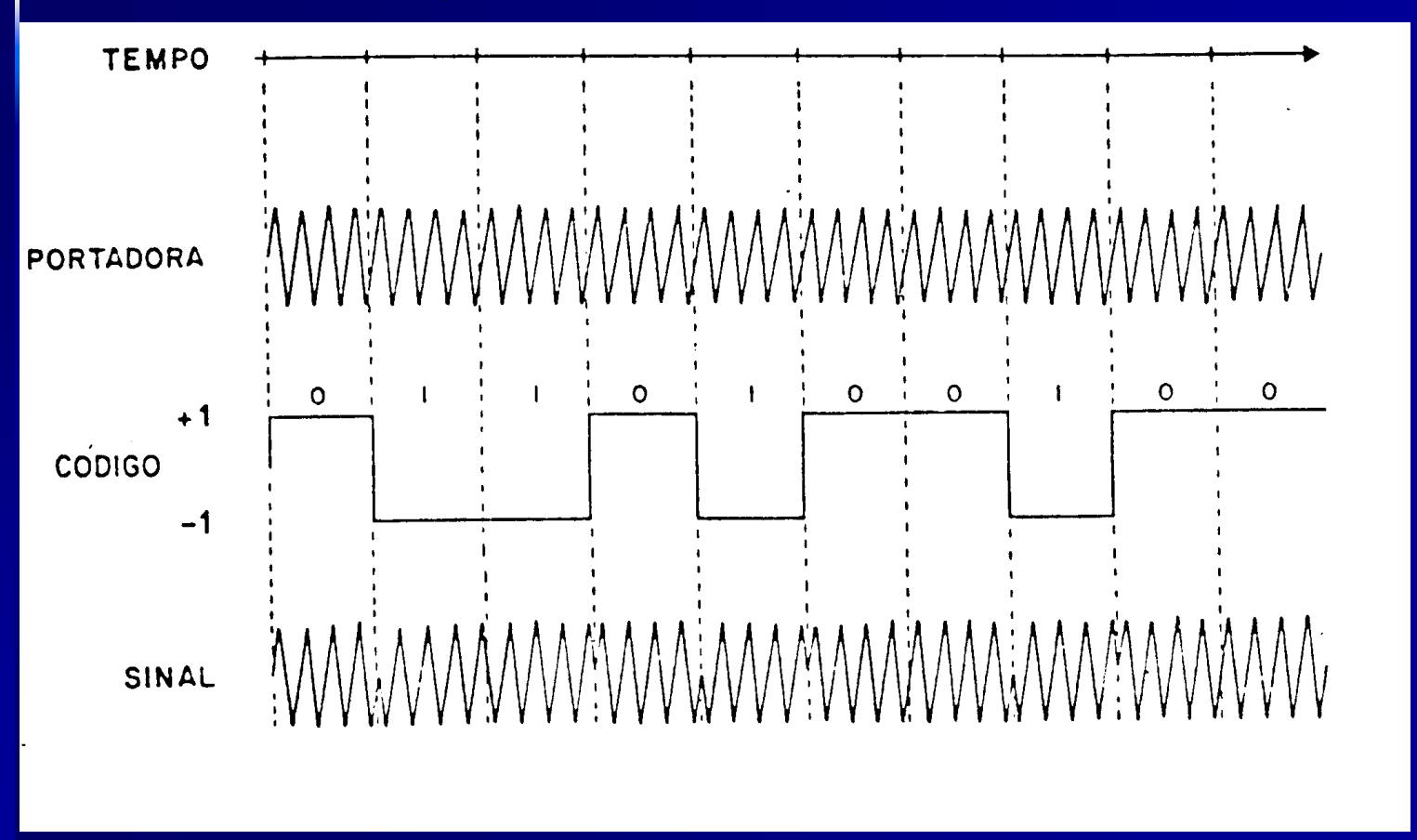
Sinais Transmitidos - GPS

- Todos as informações sobrepostas às portadoras são moduladas em fase.
- No caso dos códigos C/A e P, modulados na primeira frequência, há uma defasagem entre eles: o código P é modulado na fase co-seno e o código C/A na fase seno.
- A vantagem é que a portadora pode ser obtida através de um dos códigos independente do outro.



1893 - 2010 Laboratório de Topografia e Geodésia

Modulação em fase



1893 - 2010 Laboratório de Topografia e Geodésia

Equações dos sinais

```
■ L1 (t) = Ap Pi cos(\omega 1 t + f(t)) +
          + Ag Gi (t) Di (t) sen (\omega1 t + f(t))
```

- L2 (t) = Bp Pi (t) Di (t) cos $(\omega 1 + f(t))$
 - A, B amplitudes dos sinais
 - P, G códigos P e C/A respectivamente
 - D dados transmitidos

1893 - 2010 Laboratório de Topografia e Geodésia

Métodos Utilizados no Mapeamento



1. Levantamento topográfico

2. Posicionamento por satélites



1893 - 2010 Laboratório de Topografia e Geodésia

Erros do sistema de navegação por satélite

- Ionosfera
- Troposfera
- Multicaminhamento
- Sincronismo de relógio
- DOP



1893 - 2010 Laboratório de Topografia e Geodésia

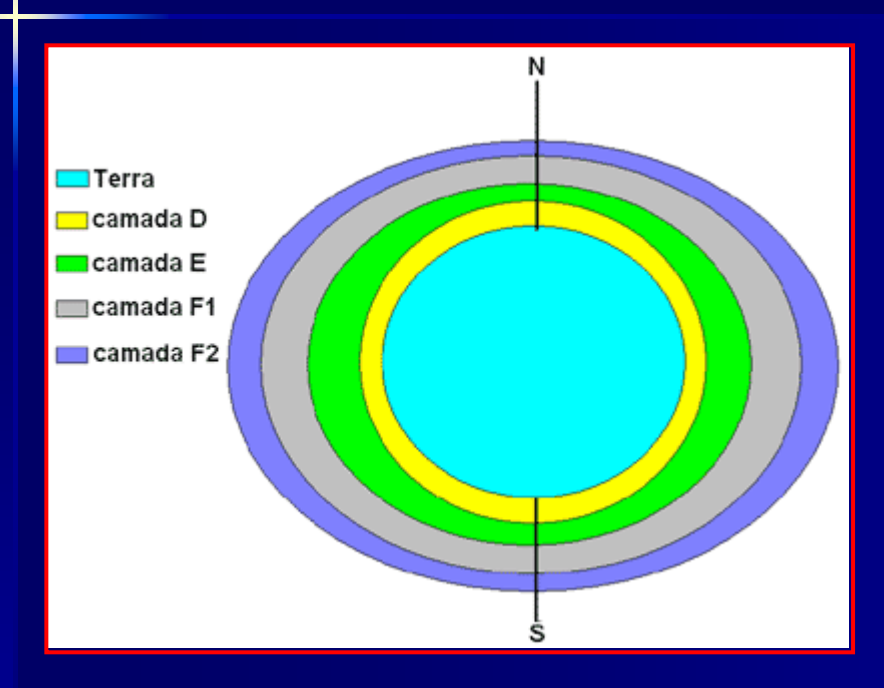
Ionosfera

- Todas as variações que acontecem na ionosfera são mais ou menos previsíveis e dependem principalmente da atividade solar e do grau de ionização que as radiações solares provocam na ionosfera. Deste modo pode-se com os conhecimentos atuais prever as condições de propagação dentro de certos limites.
- O comportamento normal da ionosfera é alterado por determinados fenômenos que ocorrem na superfície solar como sejam explosões solares, provocando forte perturbação das camadas ionosféricas ionizando-as na região dos pólos.
- Durante o período em que a terra está exposta a estas anomalias as características das diversas camadas é alterada e severas perturbações ocorrem nos sistemas de comunicação
- o receptor parece que está avariado pois apenas se escuta um ligeiro ruído de fundo



1893 - 2010 Laboratório de Topografia e Geodésia

Ionosfera



Camadas da Ionosfera

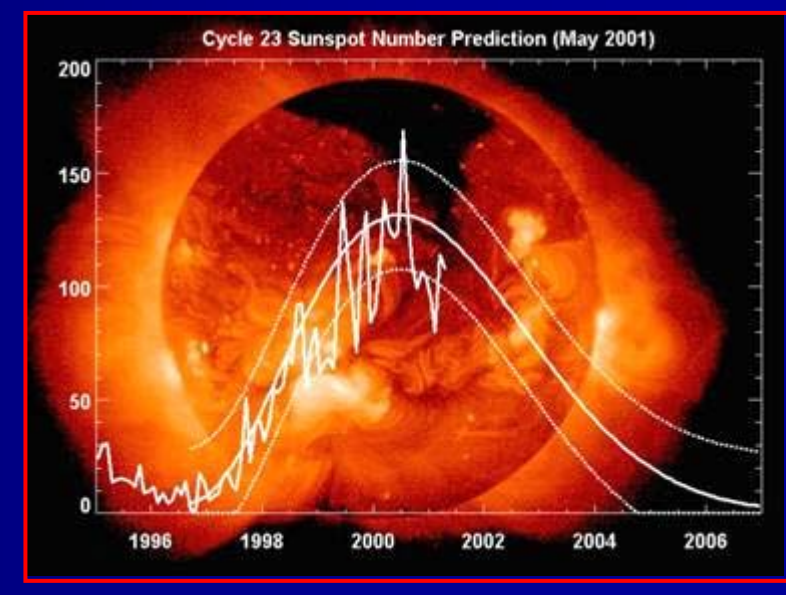


Gráfico de atividade solar

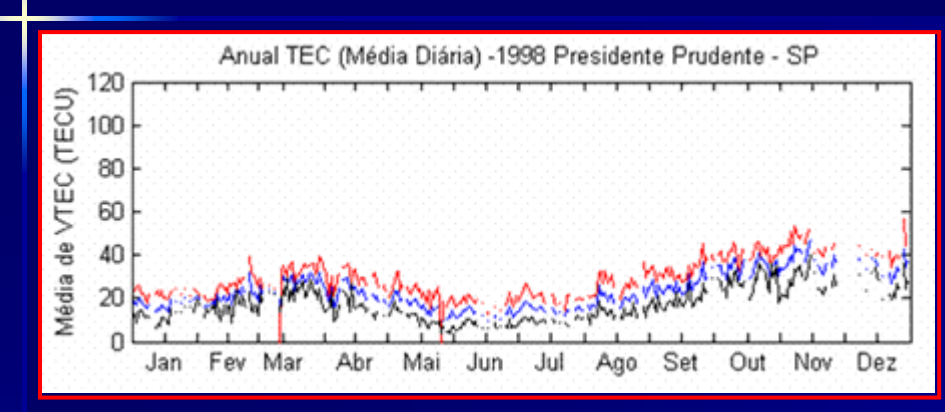


1893 - 2010

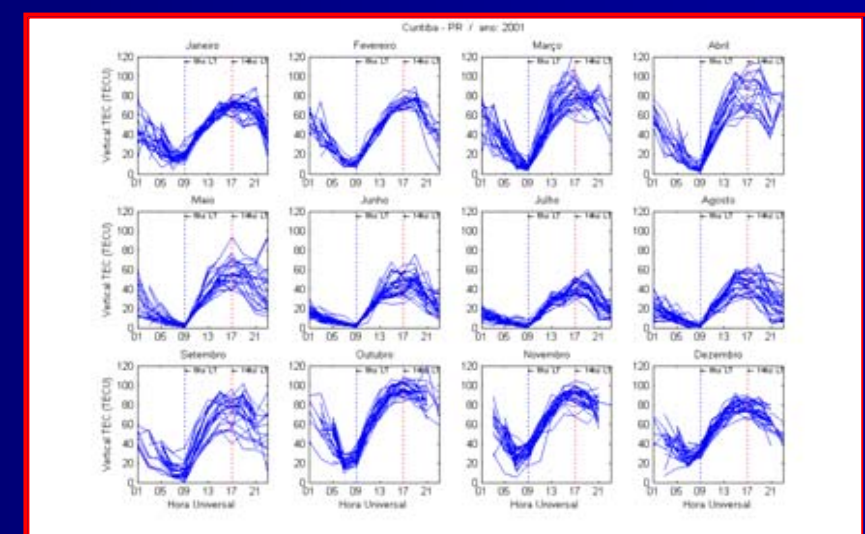
Laboratório de Topografia e Geodésia

Ionosfera

TEC (Conteúdo Total de Eletrons)



TEC - Media anual



TEC - Média diária



1893 - 2010 Laboratório de Topografia e Geodésia

Ionosfera

Modelos

- Correção IONfree
- Klobuchar



1893 - 2010

Laboratório de Topografia e Geodésia

Troposfera

- A troposfera é a camada gasosa da atmosfera, que se estende da superfície terrestre até aproximadamente 40 km de altura.
- O atraso troposférico é relativamente pequeno (1,9 a 2,5m na direção zenital aumentando com a cossecante do ângulo de elevação, chegando a 20 a 28 m para um ângulo de 5º.
- O atraso na troposfera depende de: temperatura, umidade e pressão que variam com a altitude local e independem da frequência do sinal.

Modelos troposféricos:

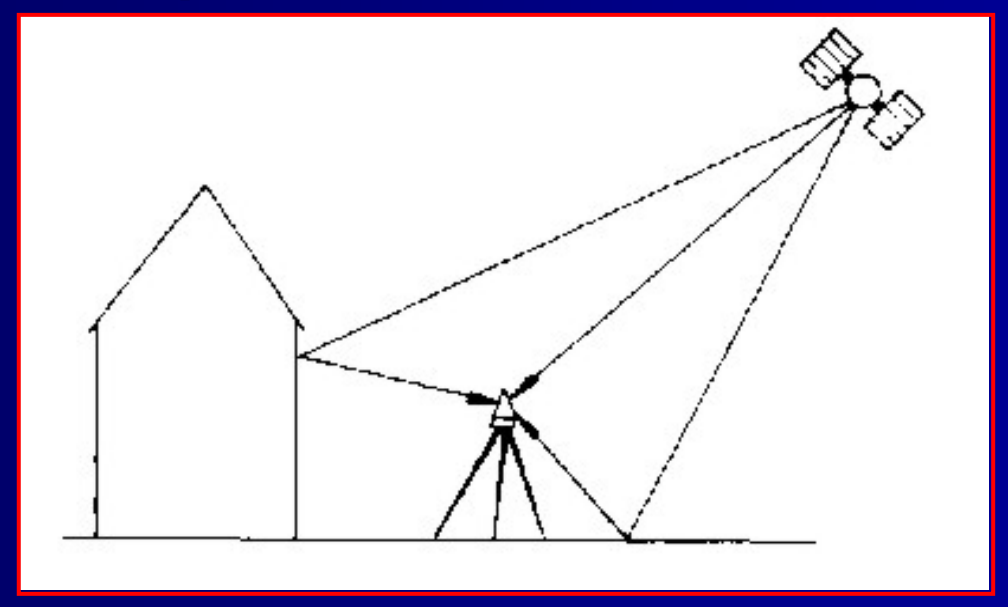
- HOPFIELD
- SAASTAMOINEM



1893 - 2010 Laboratório de Topografia e Geodésia

Multicaminhamento

- Nem sempre o sinal que chega ao receptor é o sinal diretamente transmitido pelo satélite.
- O sinal recebido pode ser aquele rebatido de algum objeto na superfície da Terra.





1893 - 2010 Laboratório de Topografia e Geodésia

Multicaminhamento

■ Para minimizar o efeito do multicaminhamento, existem alguns modelos de antenas.

CHOKE RING



Modelos de diferentes fabricantes





A,B,C e D – Modelos de platô Choke Ring 2D

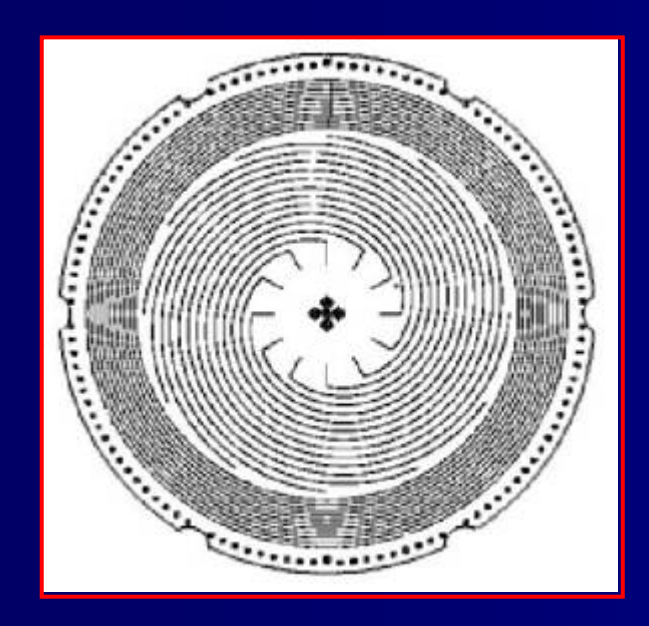
E – Modelos de platô Choke Ring 3D



1893 - 2010 Laboratório de Topografia e Geodésia

Multicaminhamento

PINWHEEL



Layout de construção de uma antena Pinwheel

Modelos de antena Pinwheel



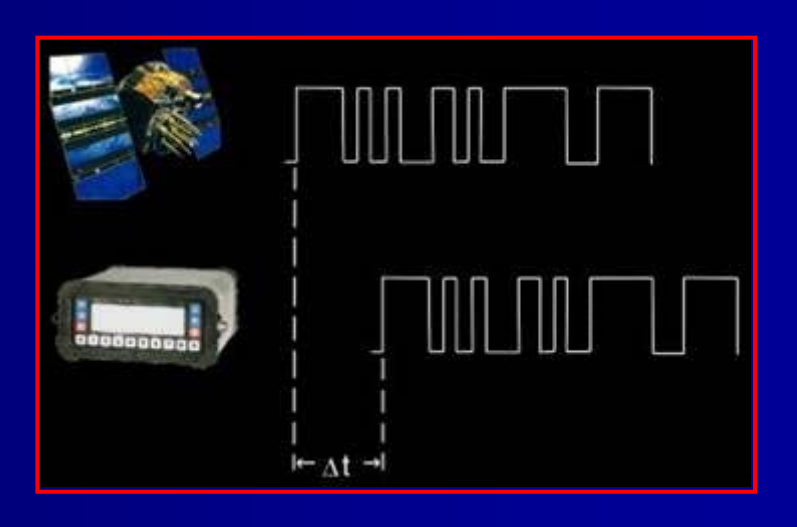


1893 - 2010 Laboratório de Topografia e Geodésia

Sincronismo dos Relógios

- Os relógios dos receptores possuem um oscilador de quartzo.
- O relógio (atômico) embarcado no satélite GPS possui um oscilador de Césio e/ou Rubídio.
- O não sincronismo do instante de transmissão e de recepção do sinal GPS gera um erro na medida de distância







1893 - 2010 Laboratório de Topografia e Geodésia

Sincronismo dos Relógios

- Origem inicial: 0 hs T.U.C. do dia 6 de janeiro de 1980.
- Modo de contagem: é dado por duas variáveis: a semana GPS e o contador 7.
- Semana GPS: teve início em 1980 e perdurou por 1023 semanas, até 1999. Às 0hs TUC de 21 de agosto de 1999 reiniciou em 0. Os receptores precisam reconhecer esta nova origem de contagem da semana.
- Contador Z: representa o número inteiro de 1,5 segundos de tempo decorridos desde o início da semana (0 hora de domingo). Varia de 0 a 403199.



1893 - 2010 Laboratório de Topografia e Geodésia

Distância estações/satélite - uso do código

Distância

$$D_r^i = c.\Delta t_r^i$$

- c velocidade da luz
- ∆t_ri tempo de propagação do sinal entre o satélite i e a estação r - derivado através de um dos códigos C/A ou P.



1893 - 2010 Laboratório de Topografia e Geodésia

Distância estações/satélite - uso do código

■ Equação final:

$$D = \rho_r^{i} + c \Delta t_{Ar}^{i} + c(\Delta t_r - \Delta t^{i}) \quad (i=1,2,3,4)$$
 (1)

$$\rho_r^{i} = [(X^i - X_r)^2 + (Y^i - Y_r)^2 + (Z^i - Z_r)^2]^{1/2}$$
 (2)

ρ_ri - distância cartesiana



1893 - 2010 Laboratório de Topografia e Geodésia

Distância estações/satélite - uso do código

Onde:

Xi, Yi, Zi - coordenadas do satélite

→ t - erro de sincronização do relógio do satélite

 Δt_{Δ} - erro devido à refração sofrida pelo sinal na passagem pela atmosfera

Incógnitas Envolvidas

X_r, Y_r, Z_r - coordenadas da estação

 Δt_r - erro de sincronização do relógio do receptor

*Para se obter uma posição instantânea é necessário observar no mínimo 4 satélites.



1893 - 2010 Laboratório de Topografia e Geodésia

Distância estações/satélite - uso da portadora

Medida da fase de batimento da portadora

$$\phi_{\mathbf{r}}^{i}(t) = \phi^{i}(t) - \phi_{\mathbf{r}}(T) \tag{3}$$

- φ_r (t) observação da fase de batimento da portadora, em unidades de ciclos, entre o satélite (i) e o receptor (r), para a época t.
- φⁱ (t) fase do sinal recebido, transmitido pelo satélite (i) na época (t), medida em ciclos.
- ϕ_r (T) fase do sinal gerado no receptor (r) na época (T) em que o sinal transmitido chega ao receptor, medida em ciclos.



1893 - 2010 Laboratório de Topografia e Geodésia

Distância estações/satélite - uso da portadora

■ Tempo de propagação:

$$\delta \tau = T - t$$

$$\delta \tau = (\rho_r^i / c) + (\delta A_r^i / c)$$

$$\phi^i (t) = \phi^i (T - \delta \tau)$$
(4)
(5)

Linearizando por Taylor

$$\phi^i$$
 (t) = ϕ^i (T) - $(\partial \phi^i / \partial t) \delta \tau$) = ϕ^i (T) - $f \delta \tau$ substituindo:

$$\phi_{r}^{i}(T) = \phi^{i}(T) - \phi_{r}(T) - (f/c) \rho_{r}^{i} - (f/c) \delta A_{r}^{i}$$
 ou $\phi_{r}^{i}(T) = \phi^{i}(T) - \phi_{r}(T) - (f/c) \rho_{r}^{i} + N_{r}^{i} - (f/c) \delta A_{r}^{i}$ (6)



1893 - 2010 Laboratório de Topografia e Geodésia

Distância estações/satélite - uso da portadora

- A equação (6) é semelhante à da distância pelo código, porém, se trata de uma distância ambígua.
- Não se conhece o número inteiro de ciclos entre o satélite e o receptor no instante inicial da observação, representado por N_ri e chamado de ambigüidade.
- A partir daquele instante, o receptor monitora o número inteiro de ciclos, desde que a sintonia ao satélite não seja perdida.



1893 - 2010 Laboratório de Topografia e Geodésia

Distância estações/satélite - uso da portadora

Distância pela fase

A última equação acima pode ser apresentada em unidades lineares ao invés de ciclos, bastando multiplicar pelo comprimento de onda $\lambda = c/f$, ficando:

$$D \phi_{\mathbf{r}}^{\mathbf{i}} = \rho_{\mathbf{r}}^{\mathbf{i}} + \lambda N_{\mathbf{r}}^{\mathbf{i}} + c \Delta t_{\mathbf{Ar}}^{\mathbf{i}} + c(\Delta t_{\mathbf{r}} - \Delta t^{\mathbf{i}})$$
 (7)

O dois últimos termos incluem as frações de ciclo no receptor e no satélite bem como o erro de sincronização dos respectivos relógios. Foi introduzido o sub-índice i para indicar um satélite específico.



1893 - 2010 Laboratório de Topografia e Geodésia

DOP – Diluição da Precisão

- A qualidade do levantamento está relacionada também com a geometria dos satélites na hora do rastreio.
- O DOP é um indicativo dessa geometria dos satélites rastreados, consequentemente da qualidade dos dados a serem obtidos.

■ HDOP : posicionamento horizontal

VDOP : posicionamento vertical

■ PDOP : posicionamento tridimensional

■ TDOP : determinação do tempo

■ GDOP : Combinação de PDOP e TDOP

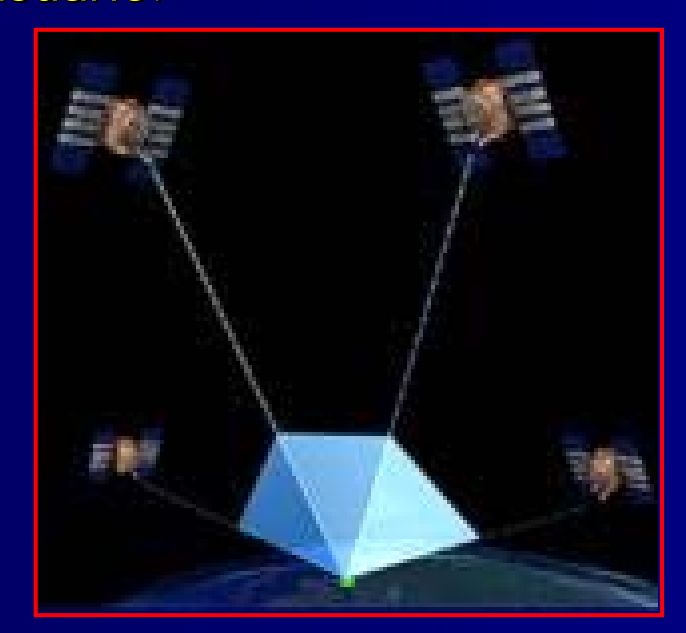
 $= (PDOP^2 + TDOP^2)^{1/2}$



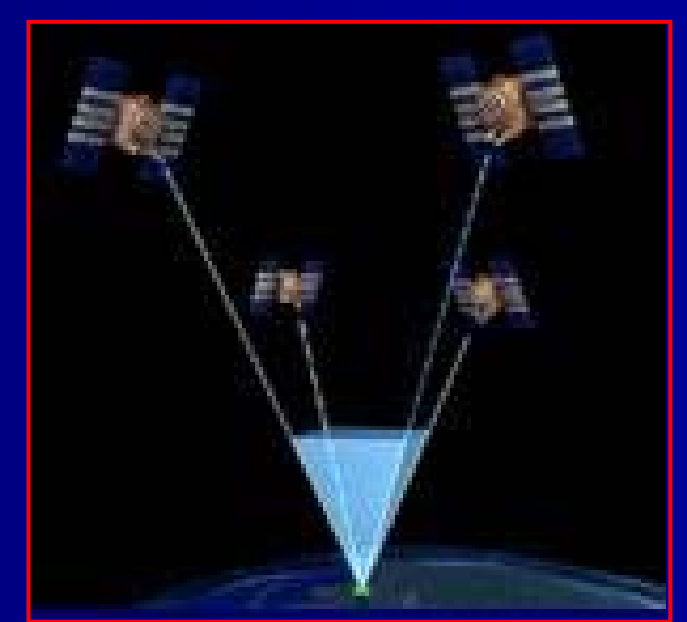
1893 - 2010 Laboratório de Topografia e Geodésia

DOP – Diluição da Precisão

O PDOP pode ser interpretado como o inverso do volume do tetraedro formado pelos 4 satélites e da antena do receptor do usuário.



PDOP bom



PDOP ruim



1893 - 2010 Laboratório de Topografia e Geodésia

Obstruções

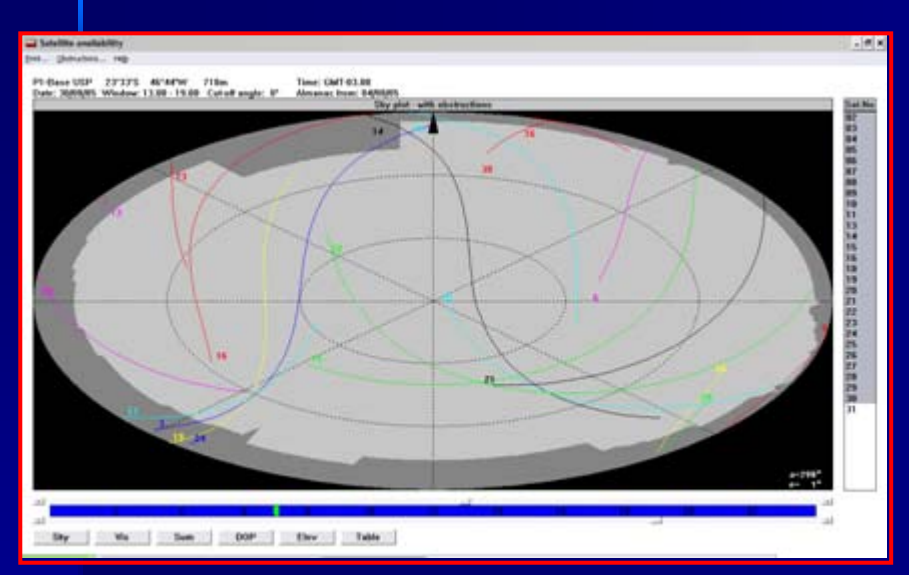
- Planejamento de rastreio GPS
 - No início de operação do sistema GPS, havia uma carência de número de satélites para realizar-se a determinação de um ponto, ou seja nem sempre eram visíveis 4 satélites simultâneos para se realizar o rastreio.
 - Assim realizava-se um planejamento conhecendo-se a órbita dos satélites e verificava-se qual o horário os 4 mínimos satélites estariam visíveis.
 - Para se fazer esse planejamento era necessário realizar um mapeamento de obstruções para saber a localização das feições que podem interromper o sinal dos satélites.



1893 - 2010

Laboratório de Topografia e Geodésia

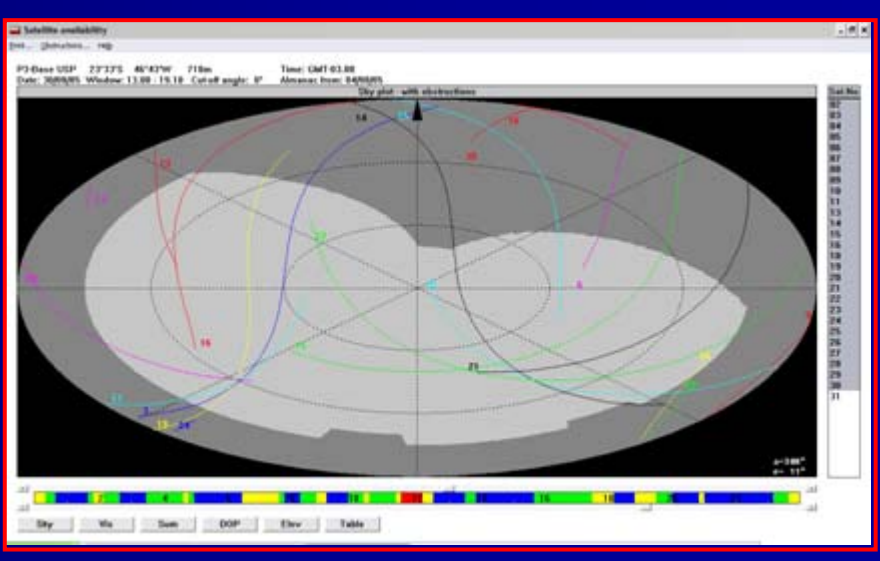
Obstruções



Mapa de obstruções

Pilar 1 Base multipilar USP

Mapa de obstruções Pilar 3 Base multipilar USP





1893 - 2010 Laboratório de Topografia e Geodésia

Condições para o posicionamento por satélite

- **Condições Mínimas**
 - Não estar em locais fechados
 - Visibilidade de pelo menos 4 satélites (3 para determinação da posição e um para o problema do sincronismo dos relógios)
 - Inexistência de alta atividade ionosférica (tempestade solar)
- Condições ideais
 - Local de céu aberto (ausência de obstruções prédios, arvores, etc...)
 - Visibilidade do major número de satélites
 - Inexistência de alta atividade ionosférica (tempestade solar)



1893 - 2010 Laboratório de Topografia e Geodésia

Técnicas de Posicionamento

Para se realizar o rastreio para obtenção das coordenadas de pontos utilizando o sistema GPS, utilizam-se algumas técnicas de posicionamento de acordo com a necessidade do usuário, seja pela acurácia e precisão, ou pela aplicação.

O posicionamento pode ser realizado de modo:

- Estático
- Cinemático
- Semi-cinemático



1893 - 2010 Laboratório de Topografia e Geodésia

Posicionamento Estático

Estático:

Técnica de posicionamento onde a observação (rastreio) é realizado com o receptor estático em único ponto:

- Absoluto Ponto Ponto Preciso

- Relativo Estático Estático rápido



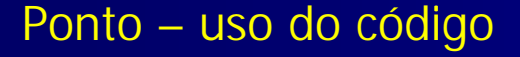


1893 - 2010 Laboratório de Topografia e Geodésia

Posicionamento Estático

Absoluto







Ponto preciso - uso da fase



1893 - 2010 Laboratório de Topografia e Geodésia

Posicionamento Relativo Estático

- O posicionamento geodésico e topográfico com o GPS é feito sempre no modo relativo ou diferencial (pós-processado).
- Necessidade da observação simultânea de mesmos mínimos 4 satélites na mesma época por pelo menos dois receptores diferentes, sendo um deles posicionado em um ponto de coordenadas conhecidas.
- A diferença entre as coordenadas obtidas pelo receptor (base) e do ponto de referência é subtraída das coordenadas obtidas pelo outro receptor (rover)

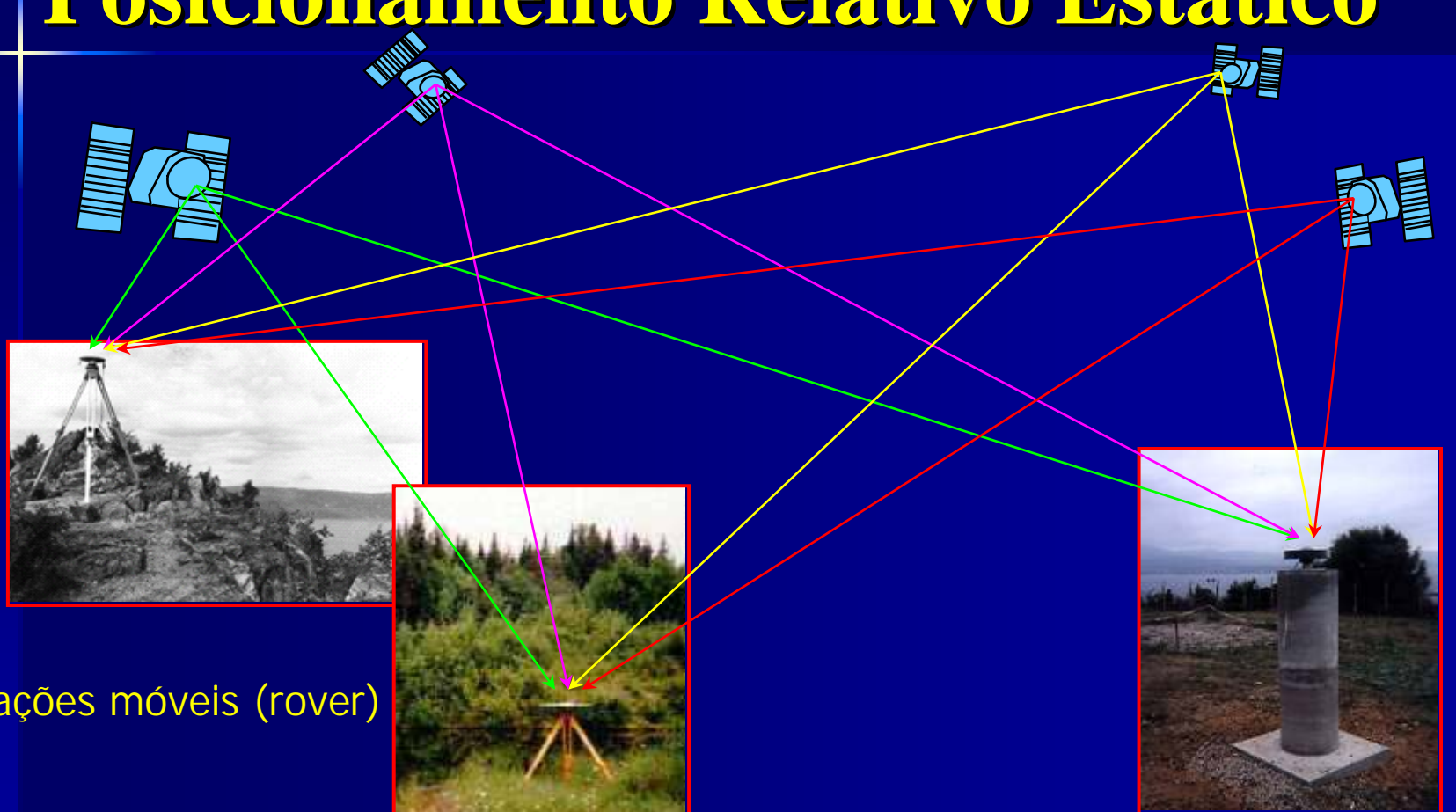
Estático – tempo de ocupação 20 min a algumas horas Usado em transporte de coordenadas – indicado para longas linhas de base (400km)

Estático rápido – tempo de ocupação 20 min – curtas linhas de base (20km)



1893 - 2010 Laboratório de Topografia e Geodésia

Posicionamento Relativo Estático



Estações móveis (rover)

Estação referência (base)

@ CRG-GPS, U. Laval



1893 - 2010 Laboratório de Topografia e Geodésia

Posicionamento Cinemático

Cinemático:

Técnica de posicionamento onde a observação (rastreio) é realizado com o receptor em movimento:

- Absoluto
- Relativo
- cinemático
- RTK (diferencial)
- DGPS (diferencial)



1893 - 2010 Laboratório de Topografia e Geodésia

Posicionamento Cinemático



Navegação Veicular uso do código

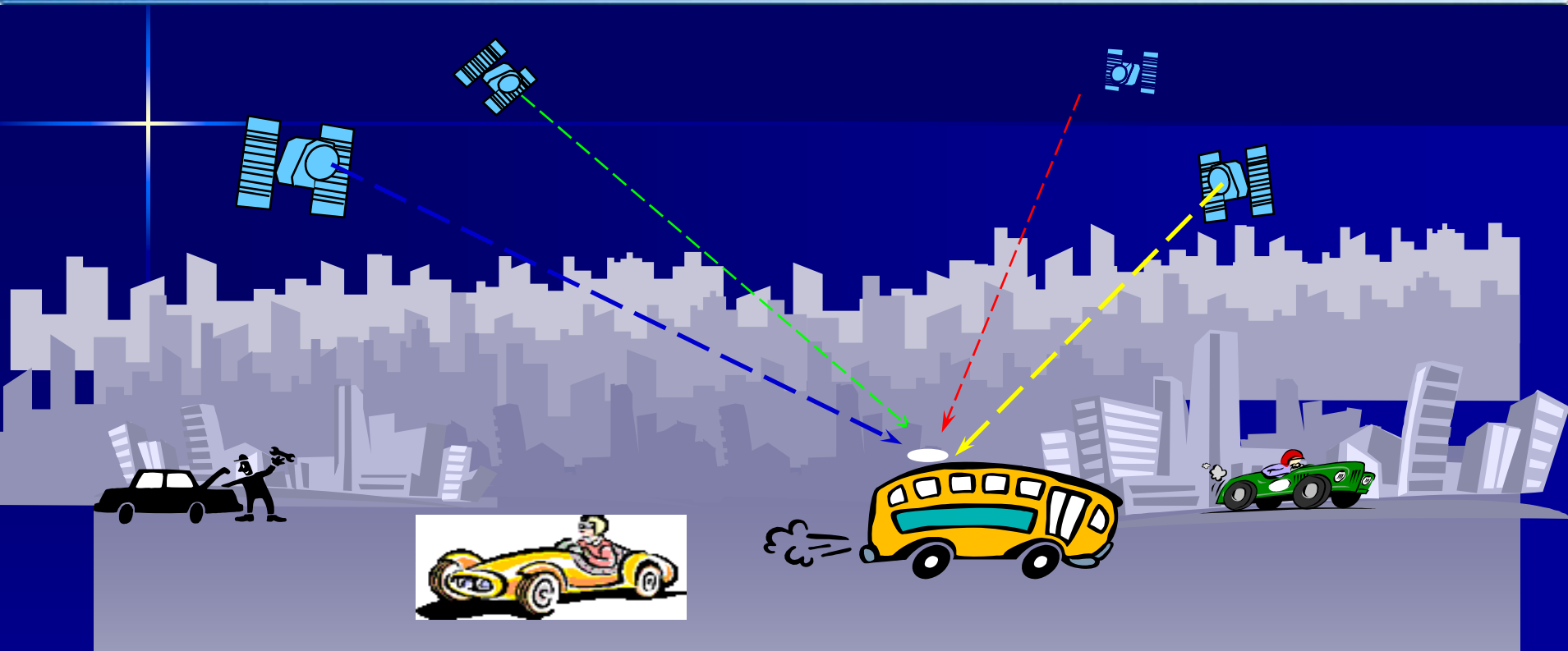


Mapeamento usando tecnologia RTK uso da fase



1893 - 2010

Laboratório de Topografia e Geodésia



Posicionamento Absoluto (cinemático)



1893 - 2010 Laboratório de Topografia e Geodésia

Posicionamento Cinemático

- Cinemático absoluto: Feito com GPS de navegação utilizando o código C/A. A precisão deste tipo de posicionamento é da ordem de 10 a 15 m.
- Cinemático relativo: É realizado o rastreio em um ponto do mesmo modo do posicionamento estático rápido até que seja solucionada a ambigüidade. Após esta etapa, o mapeamento pode ser realizado, desde que não haja perda de sinal (passagem por obstruções como pontes, árvores). Este tipo de posicionamento exige pós processamento. A precisão é da ordem de décimos de centímetros.

© Copyright 2010 – LTG / PTR - EPUSP



1893 - 2010 Laboratório de Topografia e Geodésia

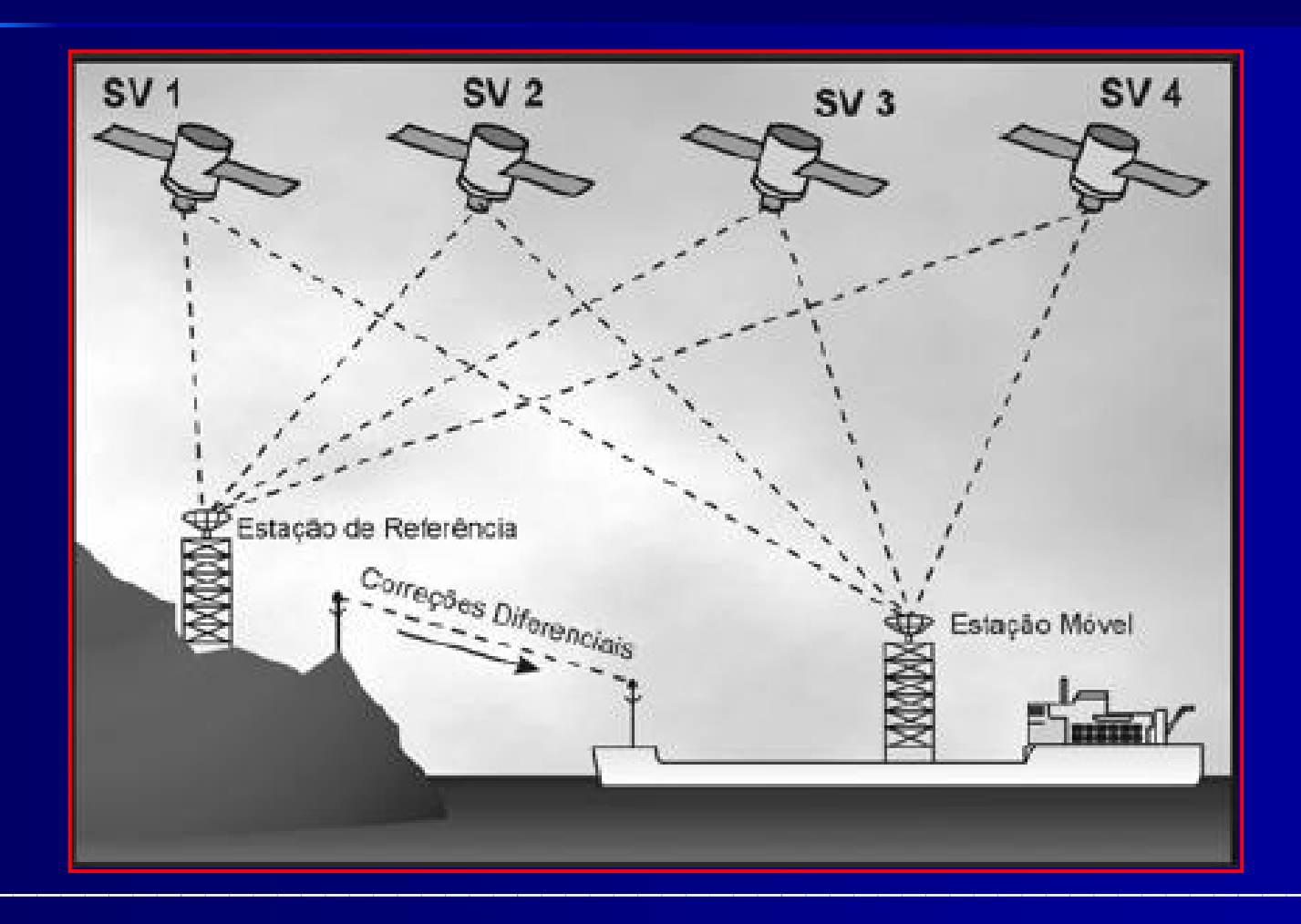
Posicionamento Cinemático

- DGPS GPS Diferencial
- Princípio: um receptor permanece observando os satélites em um ponto conhecido (base).
- Pode-se comparar o resultado obtido do rastreio com o que é conhecido e assim obter uma correção.
- Esta é aplicada ao receptor itinerante através de um link de radio (radio farol).
- A observação é feita pelo código C/A



1893 - 2010 Laboratório de Topografia e Geodésia

DGPS





1893 - 2010 Laboratório de Topografia e Geodésia

Posicionamento Cinemático

- RTK: Real Time Kinematic
 - Esta técnica é um tipo de posicionamento relativo, porém em tempo real. É relativo porque um receptor ocupa um ponto de coordenadas conhecidas e calcula a diferença entre elas e as coordenadas observadas.
 - Através de um rádio, transmite-se essa diferença para a estação móvel que também possui um rádio o qual recebe esta informação.
 - Utiliza a fase da onda portadora como observável.
 - A sua precisão pode chegar a 1 a 2 cm. Sua precisão varia de acordo com o local e da distância do receptor base (limitada pelo alcance do rádio).



1893 - 2010 Laboratório de Topografia e Geodésia

Posicionamento Cinemático

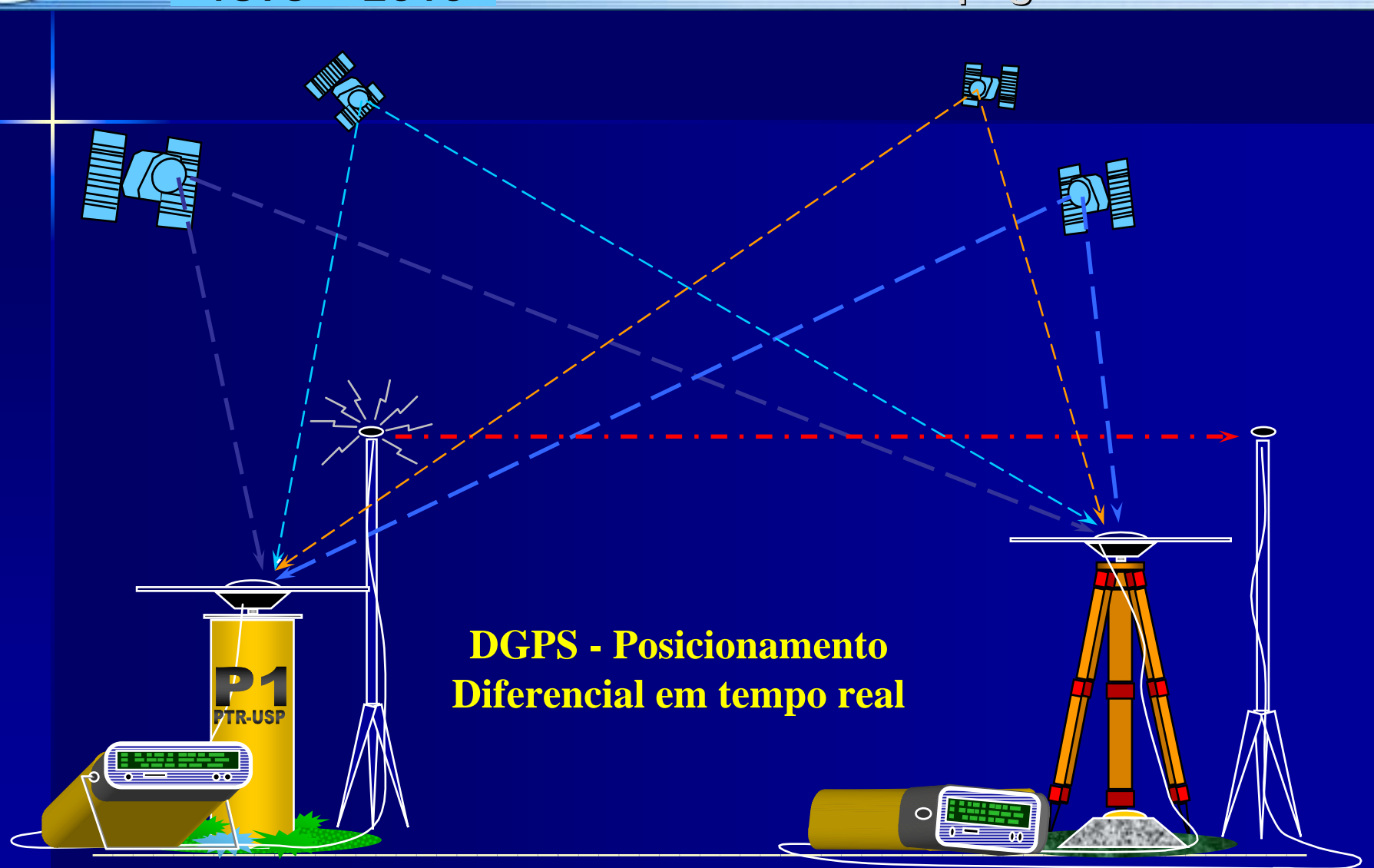


Estação Rover

Estação Base



1893 - 2010 Laboratório de Topografia e Geodésia





1893 - 2010 Laboratório de Topografia e Geodésia

Posicionamento Semi-Cinemático

- Semi-cinemático (stop and go)
 - Esta técnica é um tipo de posicionamento relativo, muito utilizado para levantamentos cadastrais para SIG. É relativo porque um receptor ocupa um ponto de coordenadas conhecidas calcula a diferença entre elas e as coordenadas observadas.
 - Utiliza a fase da onda portadora como observável.
 - É realizado o rastreio em um ponto do mesmo modo do posicionamento estático rápido até que seja solucionada a ambigüidade. Após esta etapa, o mapeamento pode ser realizado, desde que não haja perda de sinal (passagem por obstruções como pontes, árvores). Este de tipo posicionamento exige pós processamento. O tempo de ocupação é de aprox. 30s a 1 min. A precisão é da ordem de décimos de centímetros.



1893 - 2010 Laboratório de Topografia e Geodésia

Posicionamento Semi-Cinemático



Levantamento stop and go



1893 - 2010 Laboratório de Topografia e Geodésia

WADGPS na América do Sul

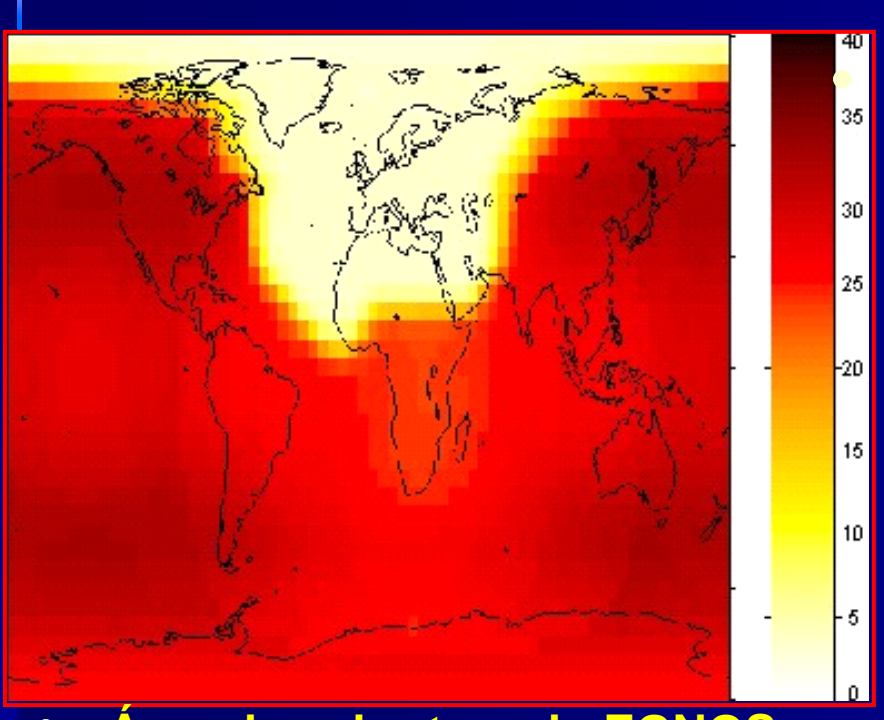


- Link de dados envolve transmissão via satélite/rádio, etc...
- Correções ponderadas de acordo à localização em relação às estações de referência Sistema privado (assinatura) Saída RTCM e NMEA para interface com outros sistemas
- Precisão da correção 1 2m
 - Vantagens
 - sinal permanente
 - grande cobertura
 - economia da base
 - aumento produtividade
 - navegação e locação



1893 - 2010 Laboratório de Topografia e Geodésia

EGNOS – European Geostationary Overlay Service



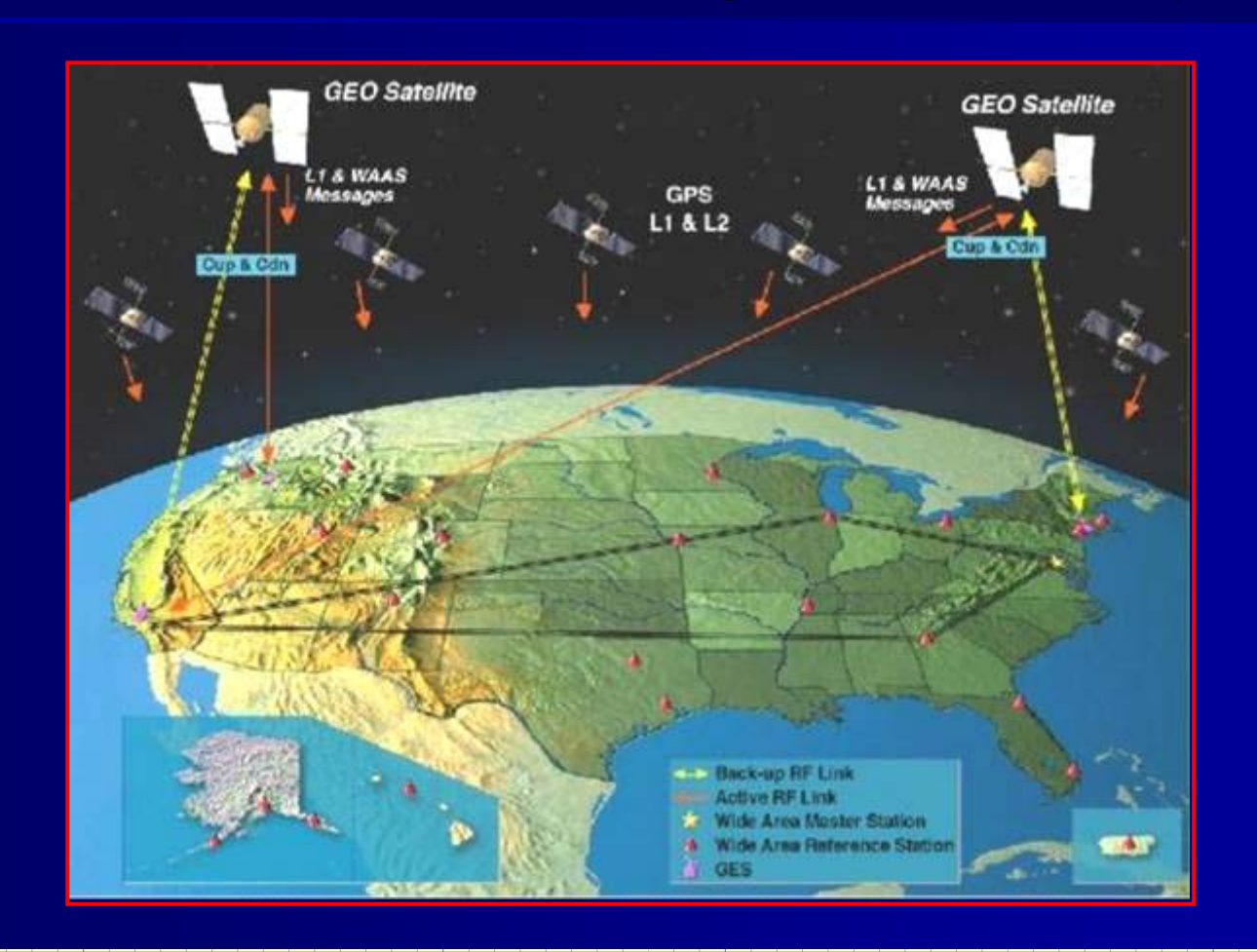
A Europa possui um serviço que tem como objetivo melhorar a precisão de sistema de navegação utilizando os sistemas de posicionamento por satélites existentes (GPS, **GLONASS** e futuramente **GALILEU). Funciona do mesmo** modo que o WADGPS.

Área de cobertura do EGNOS



1893 - 2010 Laboratório de Topografia e Geodésia

WAAS – Wide Area Augmentation System

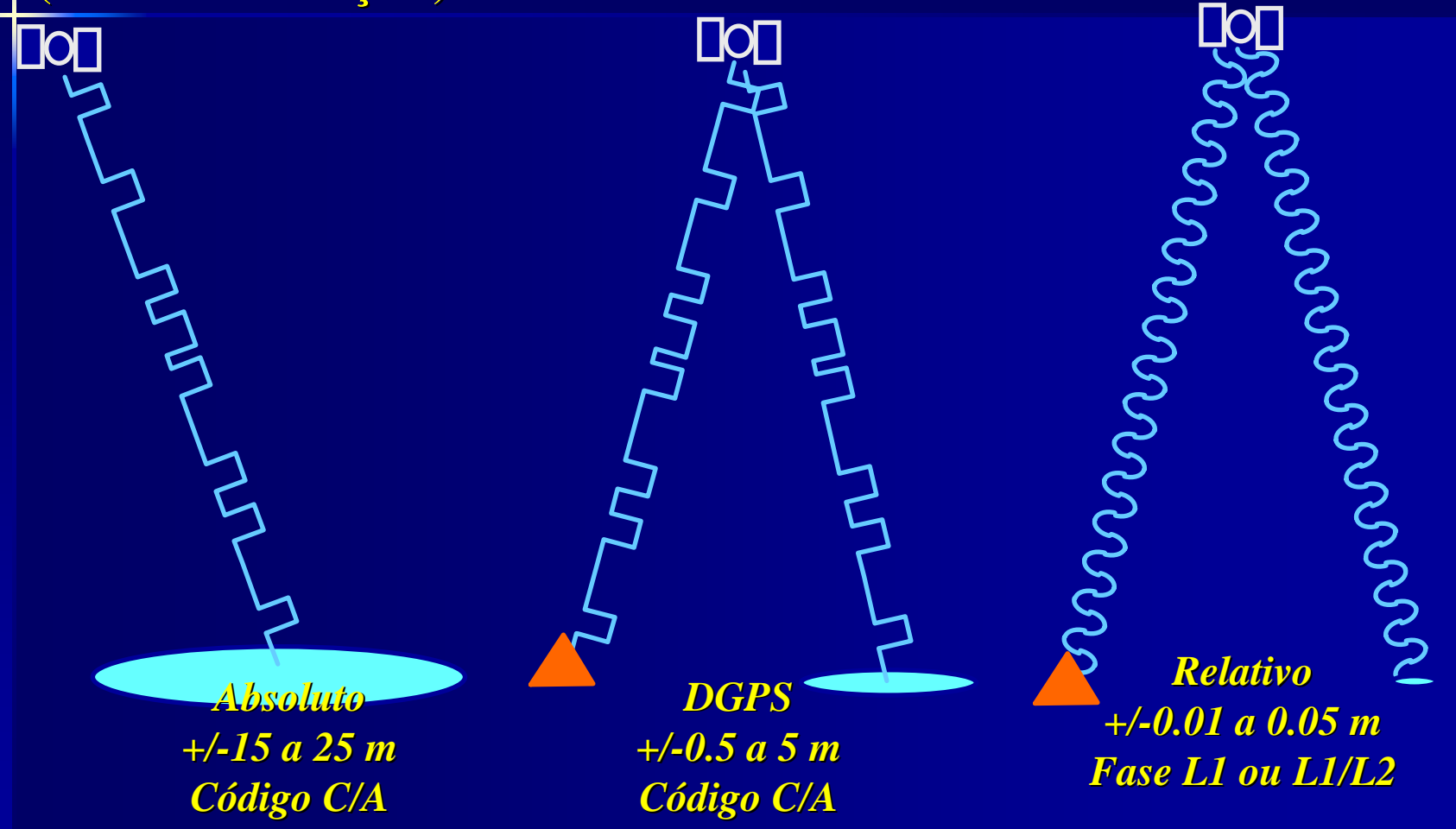




1893 - 2010

Laboratório de Topografia e Geodésia

Acurácia no Posicionamento por GPS para um mínimo de 4 satélites (Diferentes Soluções)





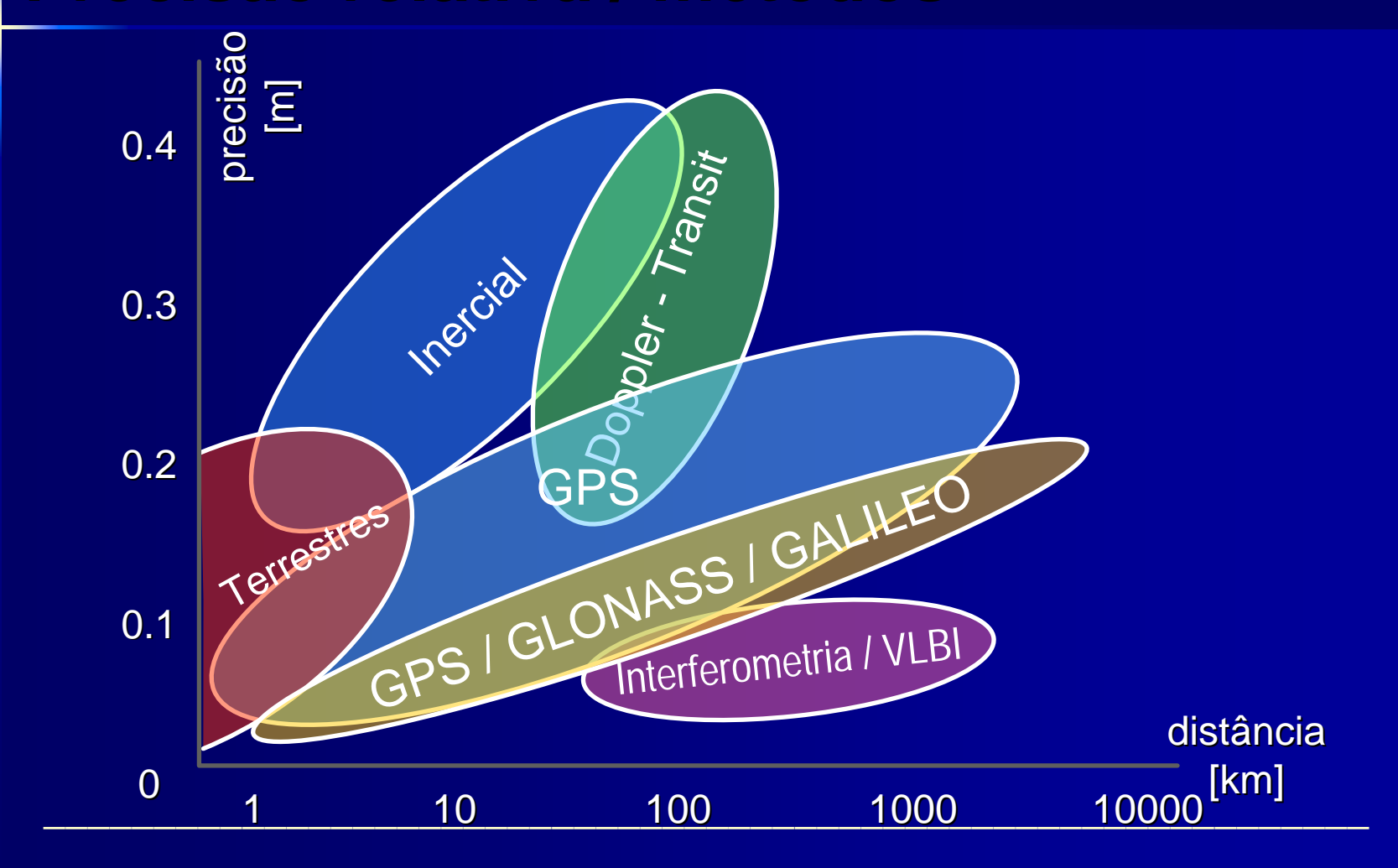
1893 - 2010 Laboratório de Topografia e Geodésia

Acurácia no Posicionamento por GPS para um mínimo de 4 satélites (Diferentes Soluções)



1893 - 2010 Laboratório de Topografia e Geodésia

Precisão relativa / métodos





1893 - 2010 Laboratório de Topografia e Geodésia

Exemplos de aplicação do sistema GPS

Engenharia

- Navegação
- Mapeamento
- Cadastro
- Monitoramento de estruturas

Ambiental

- Monitoramento de animais
- Reflorestamento

Transportes/Logistica

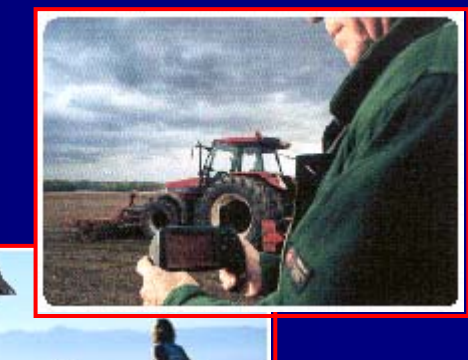
- Controle de frotas
- Bombeiros / Polícia / Resgate

Agricultura

Agricultura de Precisão

Lazer

- Caminhadas
- **Esportes**





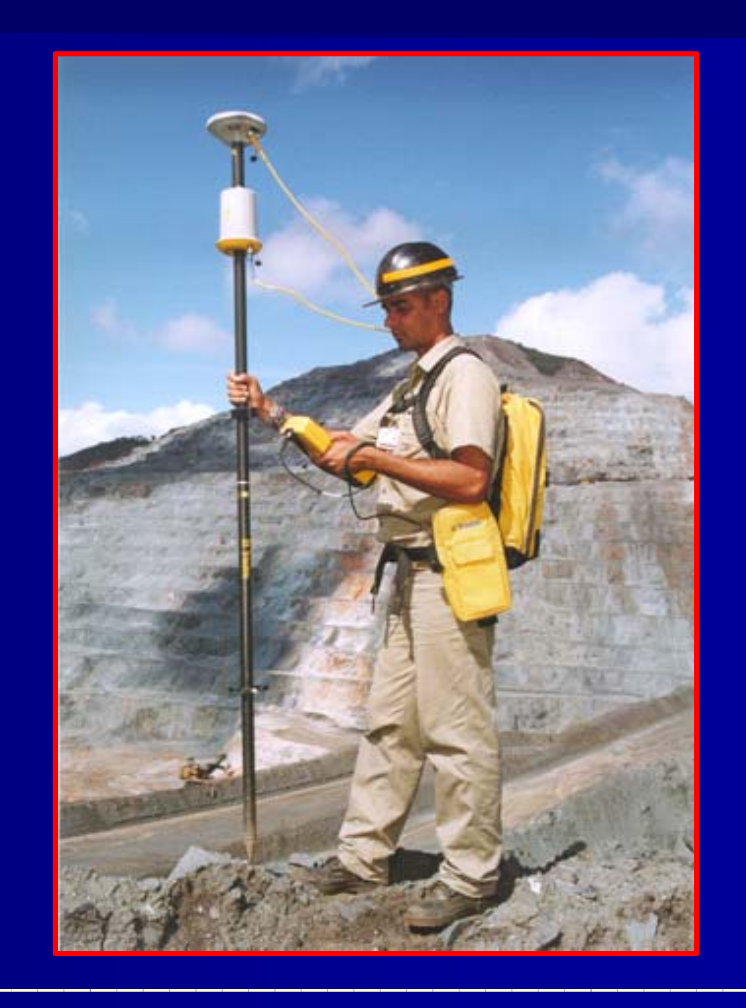




1893 - 2010 Laboratório de Topografia e Geodésia

Exemplo de Aplicação: Mapeamento de mina a céu aberto

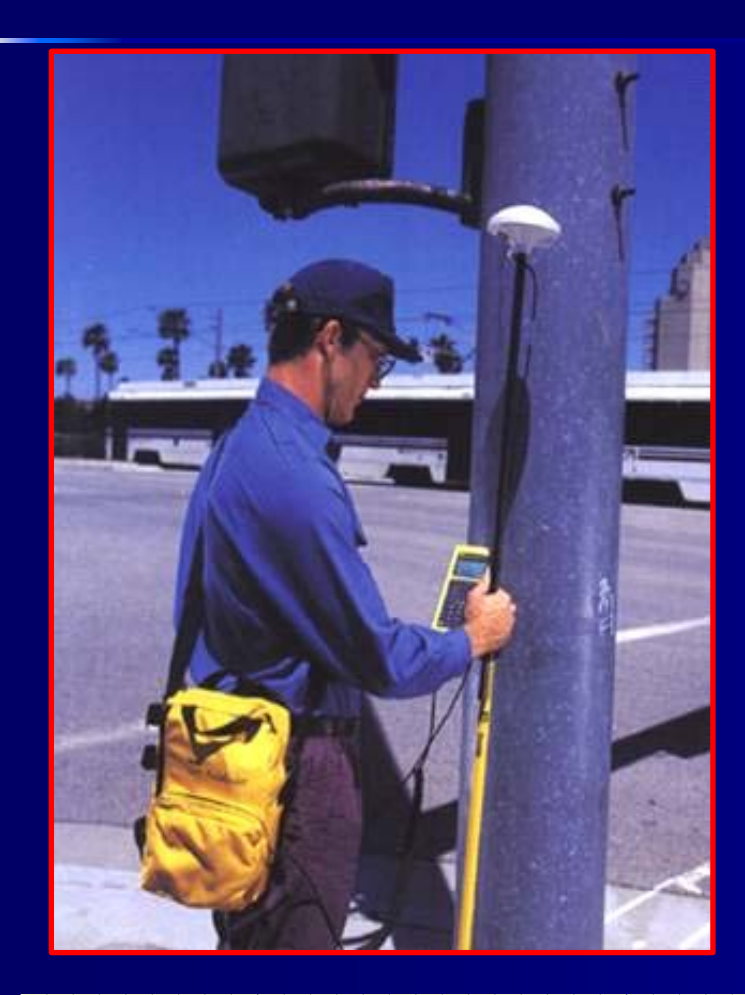


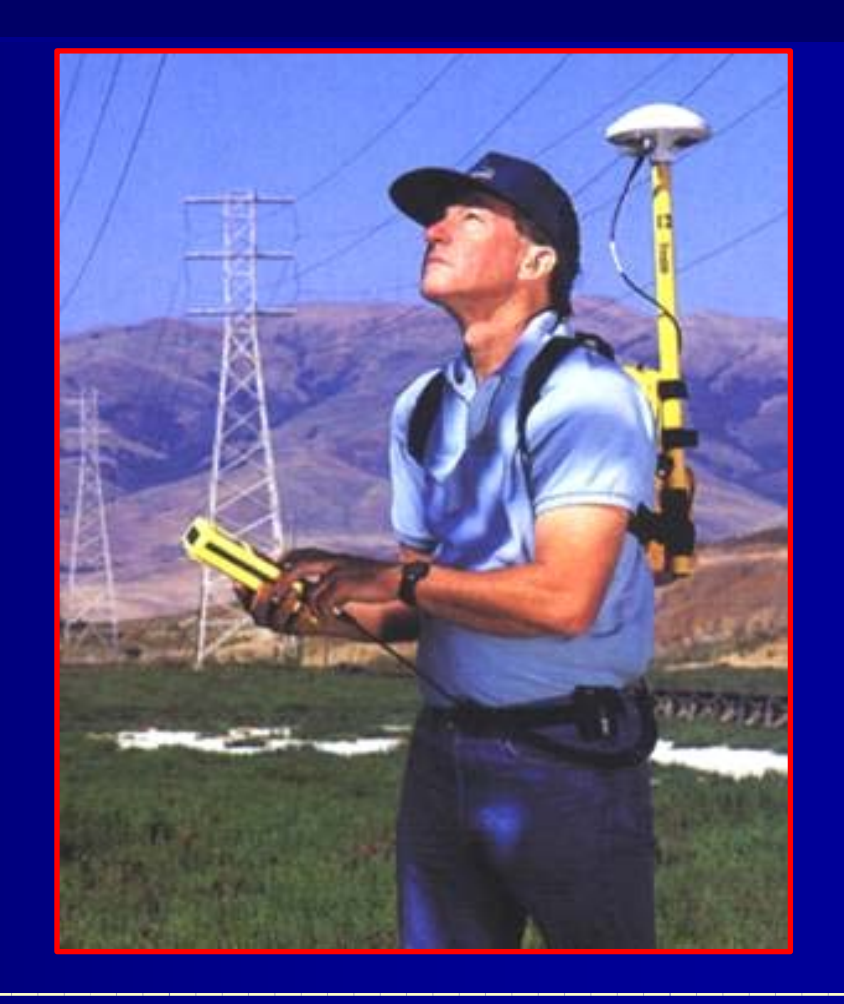




1893 - 2010 Laboratório de Topografia e Geodésia

Exemplo de Aplicação: Cadastramento de postes / linhas de alta-tensão







1893 - 2010 Laboratório de Topografia e Geodésia

Exemplo de aplicação: Agricultura de Precisão





1893 - 2010 Laboratório de Topografia e Geodésia

Exemplo de Aplicação: Controle de Frotas e navegação

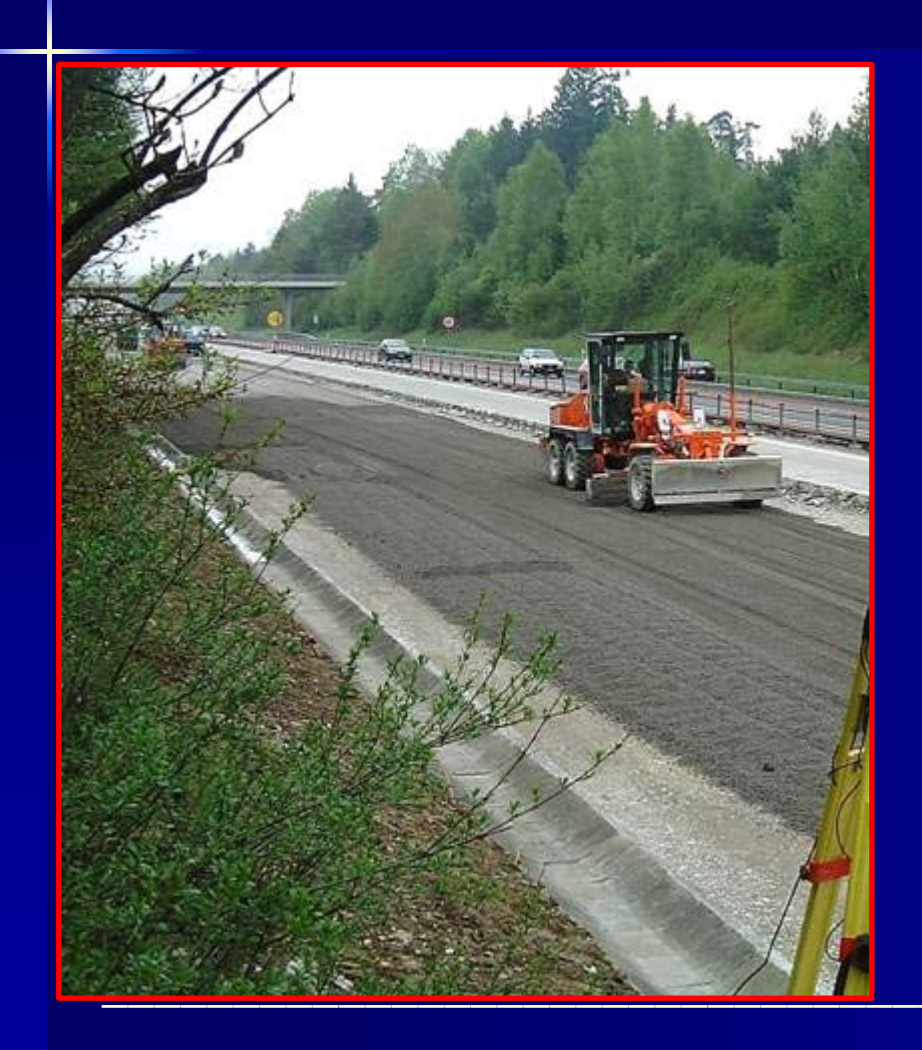






1893 - 2010 Laboratório de Topografia e Geodésia

Exemplo de Aplicação: Implantação de estradas / construção civil



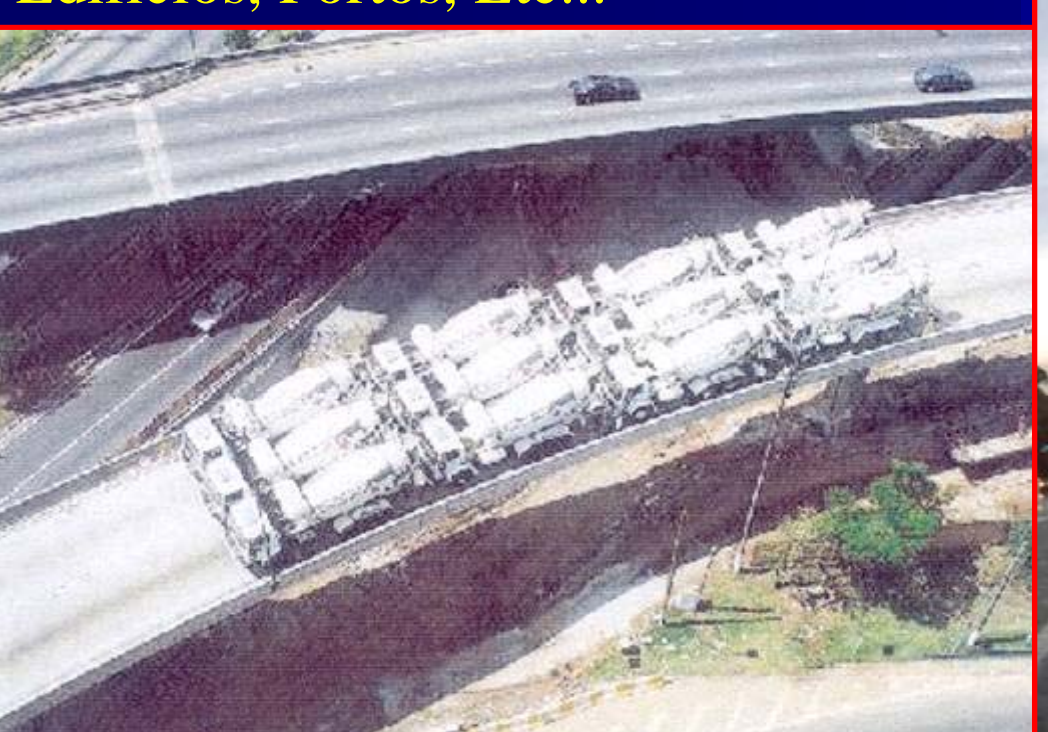




1893 - 2010 Laboratório de Topografia e Geodésia

Monitoramento estático e dinâmico de estruturas

Pontes, Viadutos, Estádios, Edifícios, Portos, Etc...





1893 - 2010 Laboratório de Topografia e Geodésia

É fácil utilizar o GPS no mapeamento?





1893 - 2010 Laboratório de Topografia e Geodésia

É necessário a utilização de pontos das Redes de Referência ...



1893 - 2010 Laboratório de Topografia e Geodésia

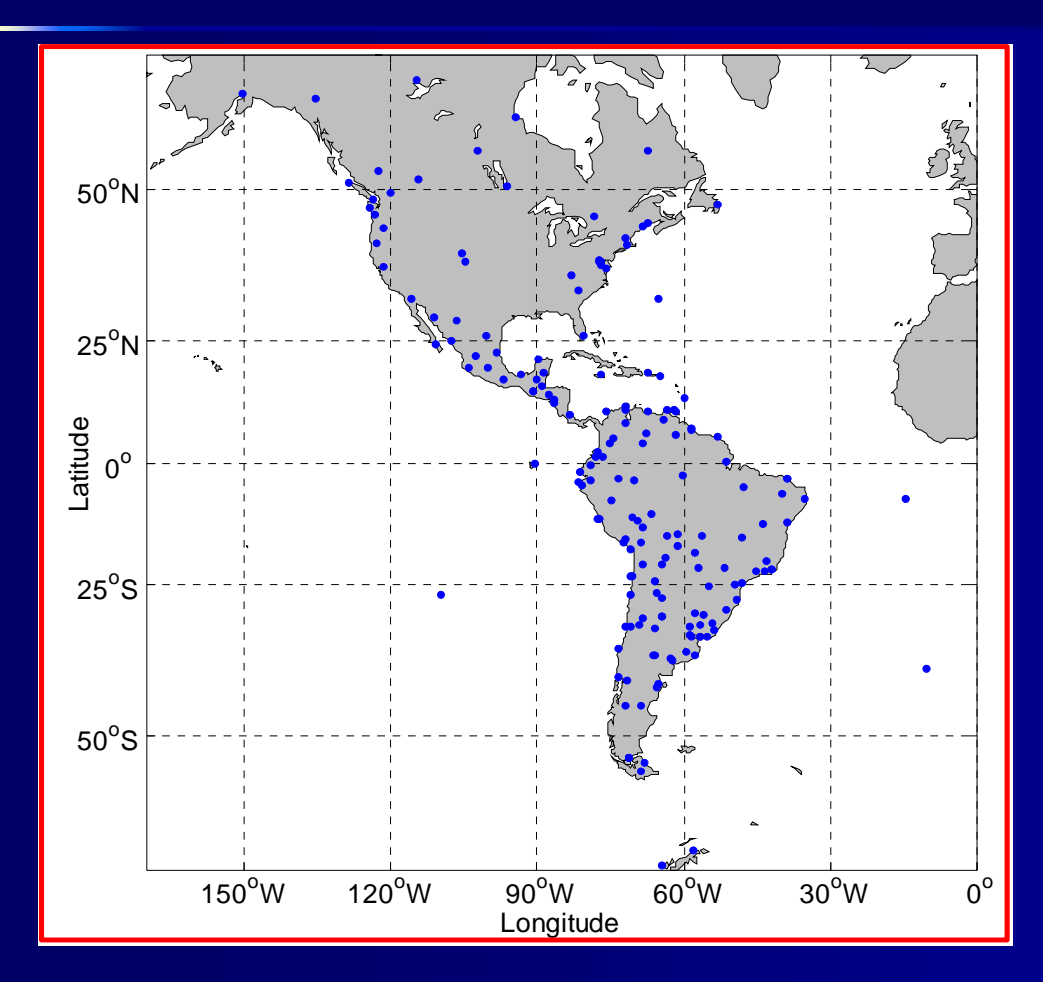
Rede IGS (International GNSS Service)





1893 - 2010 Laboratório de Topografia e Geodésia

SIRGAS (Sistema de Referência Geocêntrico para as Américas)



184 Estações ocupadas em 2000



1893 - 2010 Laboratório de Topografia e Geodésia

Redes GPS no território nacional

Existem dois tipos de redes GPS no Brasil

Rede Passiva: Rede constituída de pontos de coordenadas conhecidas, materializadas com pilares apoiados em rocha (impenetrável) com pino de centragem forçada, homologados pelo IBGE

Rede Ativa: Rede constituída de pontos de coordenadas conhecidas, materializadas com pilares apoiados em rocha (impenetrável) com pino de centragem forçada, homologados pelo IBGE, porém com um receptor GPS de dupla frequência que coleta dados continuamente 24 h por dia. Um exemplo é a RBMC (Rede de Monitoramento Contínuo) e também a RIBAC do INCRA (receptores de simples frequência).



1893 - 2010 Laboratório de Topografia e Geodésia

Características dos vértices com dispositivo de centragem forçada



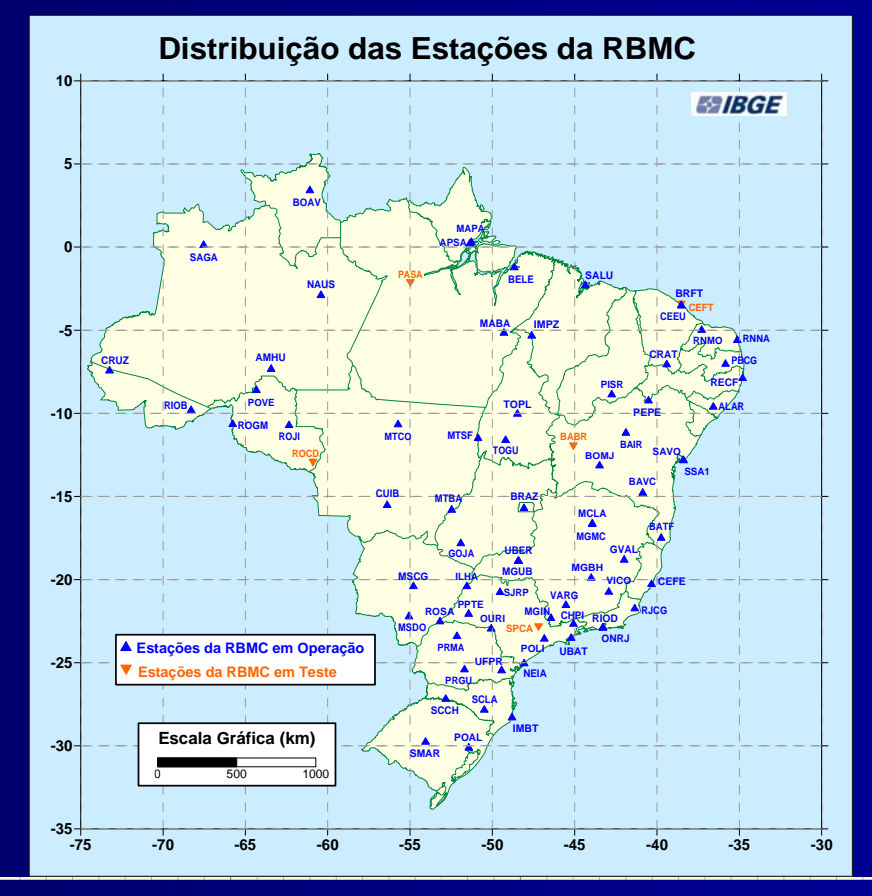




1893 - 2010 Laboratório de Topografia e Geodésia

Redes GPS no território nacional

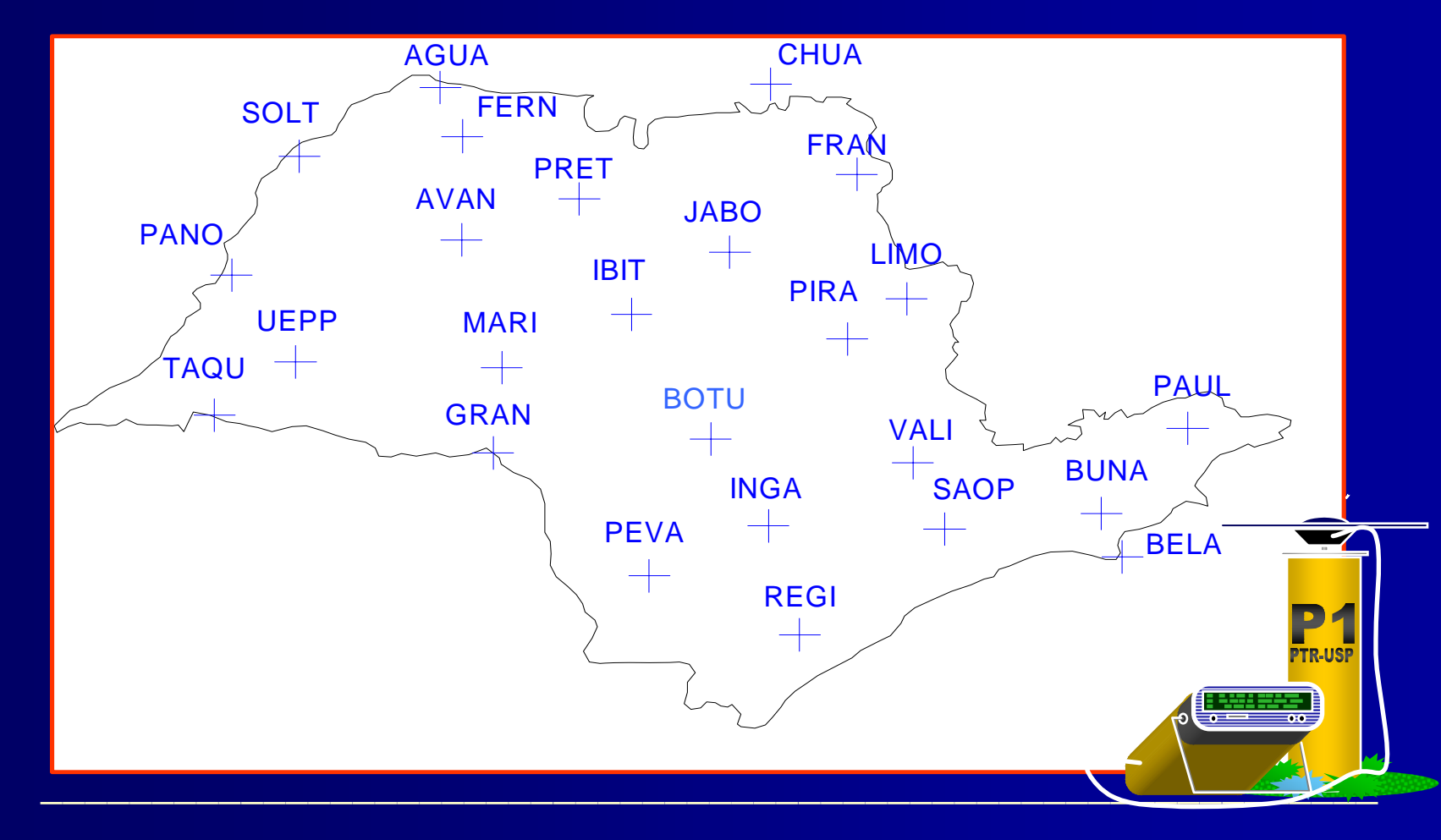
RBMC - Rede Brasileira de Monitoramento Contínuo do Sistema GPS





1893 - 2010 Laboratório de Topografia e Geodésia

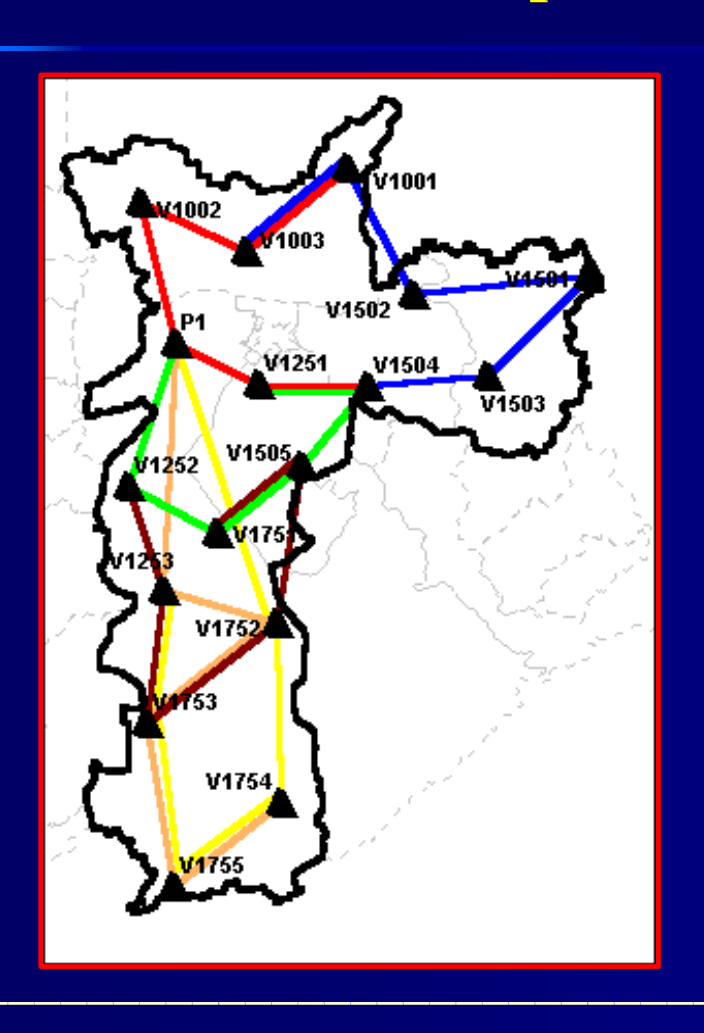
Rede GPS do Estado de São Paulo





1893 - 2010 Laboratório de Topografia e Geodésia

Rede GPS do Município de São Paulo



Rede Principal

17 vértices

1 vértice / 100 km²

Precisão = 1/500.000

Rede Secundária 1

60 vértice

1 par vértices /50 km2

Precisão = 1/250.000

Rede Secundária 2

223 vértice

Precisão = 1/100.000



1893 - 2010 Laboratório de Topografia e Geodésia

Rede GPS do Município de São Paulo





1893 - 2010 Laboratório de Topografia e Geodésia

Redes GPS no território nacional

Assim Como São Paulo, outros estados e municípios do território nacional também possuem sua própria rede de referência.





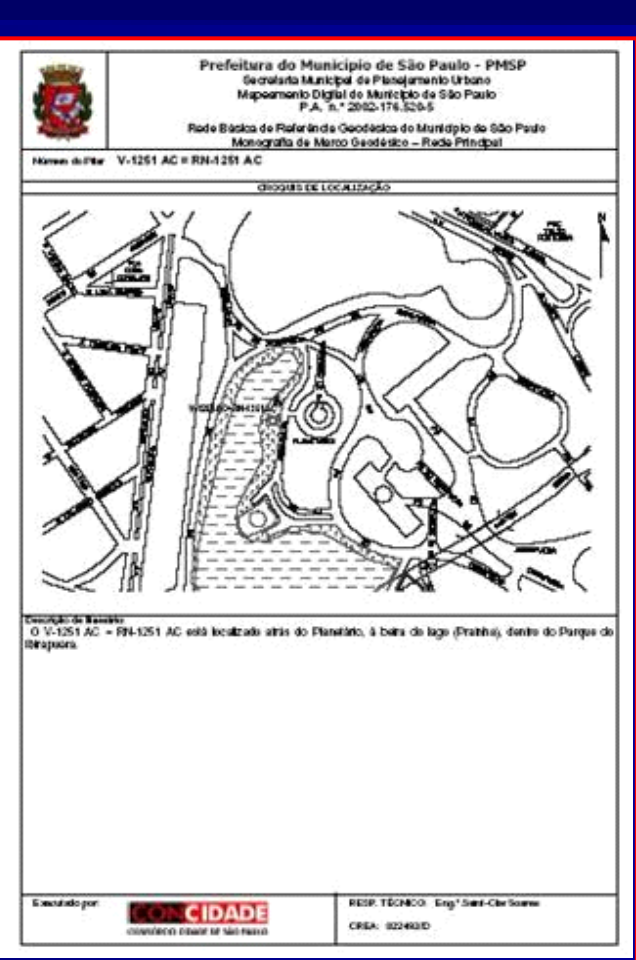
V1251-AC



1893 - 2010 Laboratório de Topografia e Geodésia

Exemplos de monografia







1893 - 2010 Laboratório de Topografia e Geodésia

Redes GPS do território nacional

No site do IBGE é possível ter acesso às monografias dos pontos da rede geodésica brasileira, bem como ter acesso aos dados das estações da RBMC.

www.ibge.gov.br → geociências → geodésia

As monografias da rede municipal de São Paulo podem ser acessadas em:

http://ww2.prefeitura.sp.gov.br/arquivos/secretarias/planejamento/mapas/0002/marcos_sp.asp



1893 - 2010 Laboratório de Topografia e Geodésia

É necessário o conhecimento do Sistema Geodésico Brasileiro?..



1893 - 2010 Laboratório de Topografia e Geodésia

SISTEMA GEODÉSICO BRASILEIRO

No Brasil, o Datum utilizado para levantamentos topográficos até 1979 foi o elipsóide de Hayford. A partir daquele ano foi usado o Datum UGGI 1967

■ Até 1979

- Origem: Córrego Alegre
- Elipsóide: Hayford (internacional)
- a(semi-eixo maior) = 6.378.388 m
- $-e^2 = 0.00672267$

■ Após 1979

- Origem: Chuá
- Elipsóide: UGGI 1967.
- -a = 6378160 m
- $-e^2 = 0.0066946053$

Obs.: Grande parte do mapeamento do Estado de São Paulo e de outros estados está referido ao sistema Córrego Alegre.



1893 - 2010 Laboratório de Topografia e Geodésia

SISTEMA GEODÉSICO BRASILEIRO

- O Sistema GPS:
 - WGS 84 (G1150)
 - Elipsóide: GRS 80
 - -a = 6378177 m
- Atual sistema para o Brasil: SIRGAS 2000
 - Elipsóide: GRS 80



1893 - 2010 Laboratório de Topografia e Geodésia

Processamento GPS

Como foi visto o sistema GPS possui uma série de fontes que causam erros nas medidas das distâncias entre o satélite e a antena do receptor.

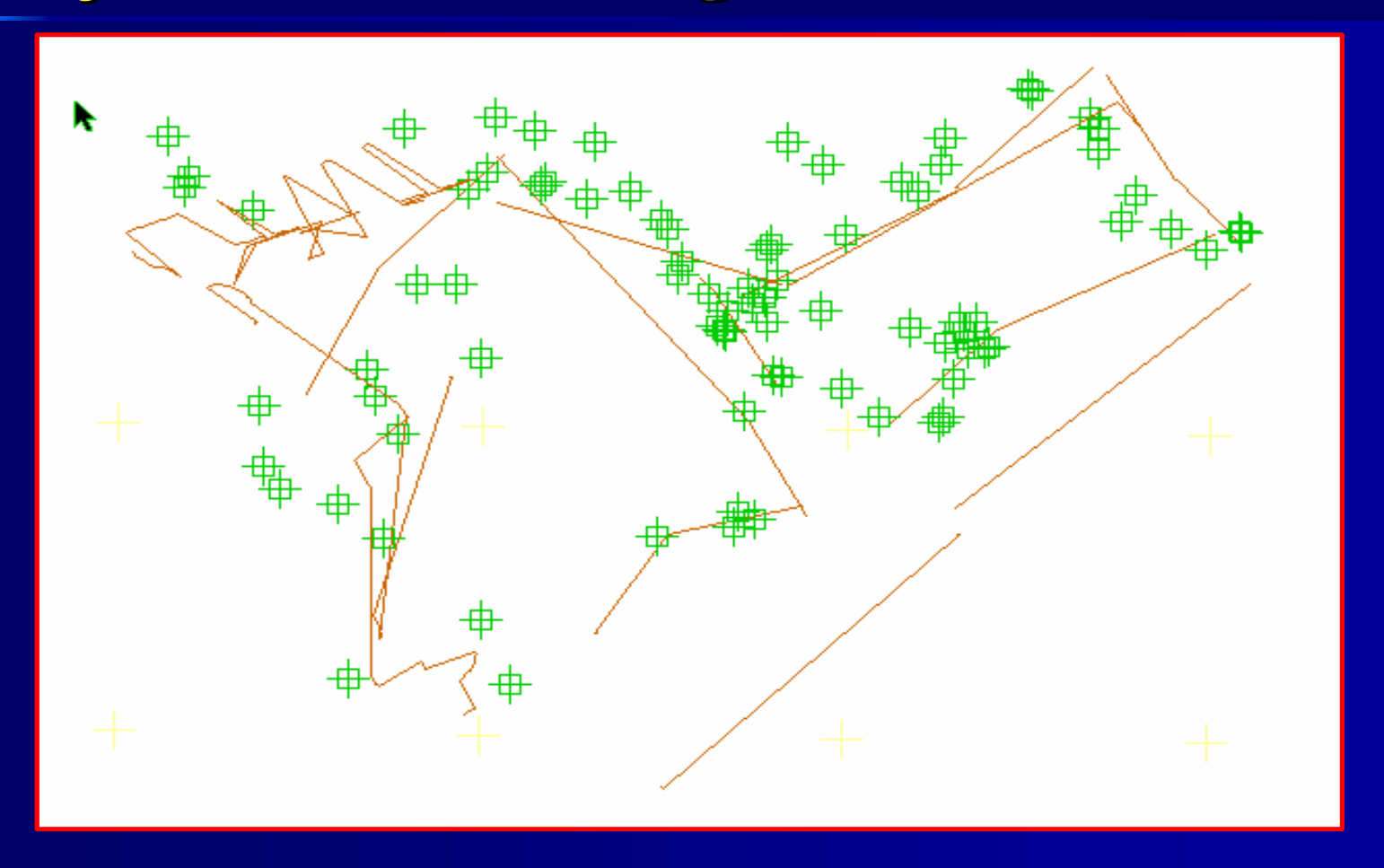
Com o uso do posicionamento relativo, seja ele estático ou cinemático, muitos desses erros são minimizados.

Assim, para mapeamentos que exige maior precisão, é fundamental o processamento dos dados GPS para corrigir as posições obtidas nos rastreios.



1893 - 2010 Laboratório de Topografia e Geodésia

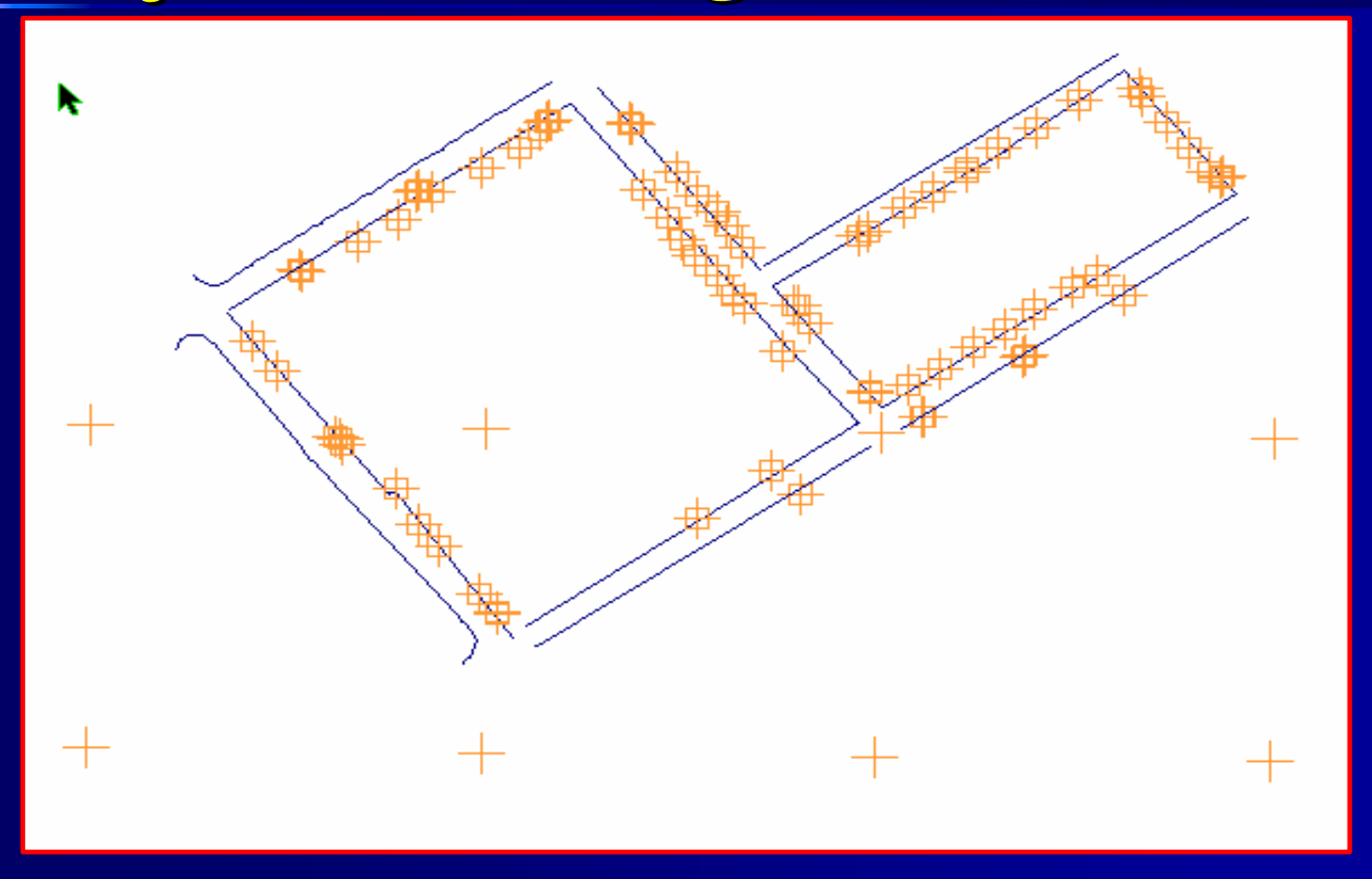
Posições GPS não corrigidas





1893 - 2010 Laboratório de Topografia e Geodésia

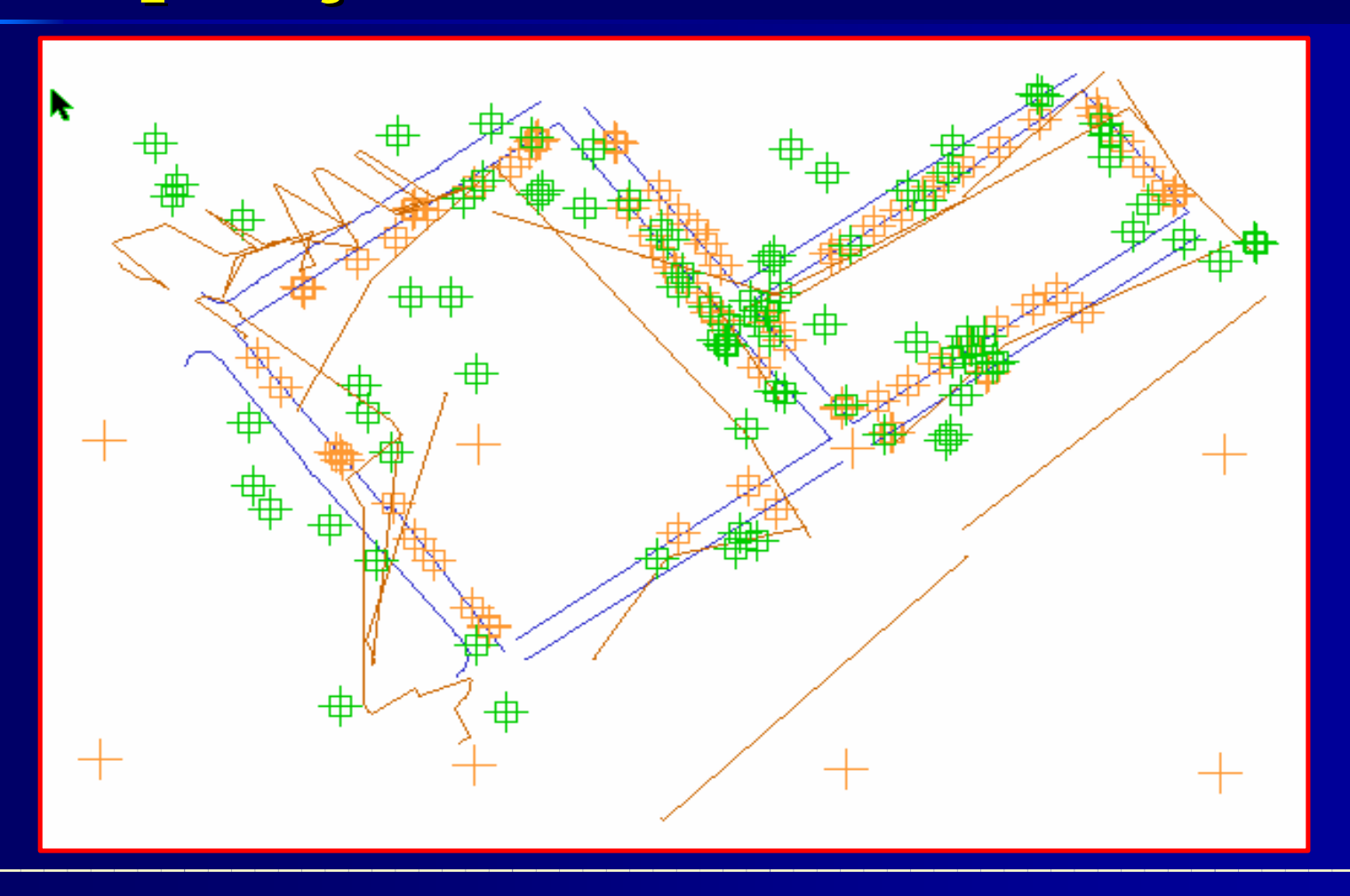
Posições GPS corrigidas





1893 - 2010 Laboratório de Topografia e Geodésia

Comparação (corrigidas x não corrigidas)





1893 - 2010 Laboratório de Topografia e Geodésia

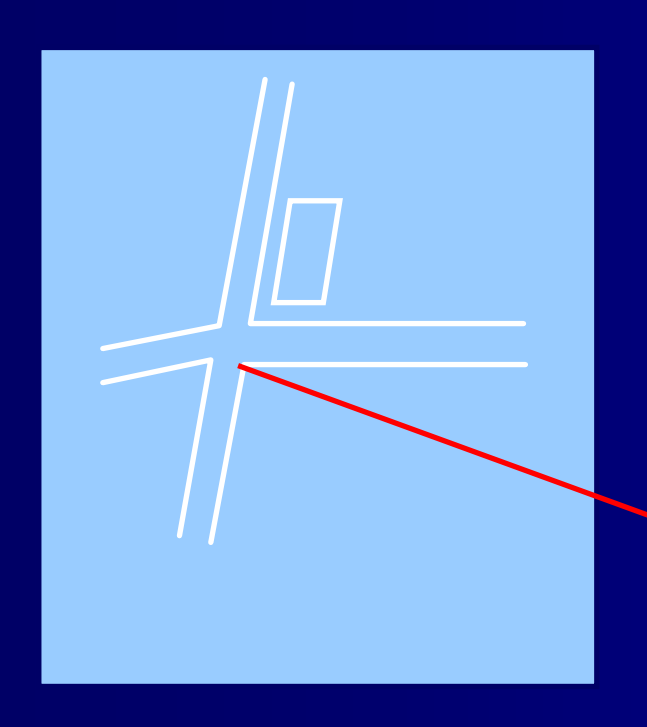
Devemos Lembrar ao utilizarmos GPS que:

- ✓ O referencial é o sistema geocêntrico WGS-84 (G1150);
- ✓ Nossa navegação, a cartografia e os mapas, em geral, NÃO estão referenciados ao WGS84;
- ✓ Data mais usados no Brasil: SAD69 e Córrego Alegre;
- ✓ SAD69 e Córrego Alegre NÃO são coincidentes com WGS84 e também não são geocêntricos;
- ✓ A diferença entre sistemas de referencia pode ser maior o de mesma dimensão que o maior erro do sistema GPS;
- ✓ As coordenadas planas (ex. UTM) são referenciadas à um determinado datum;
- ✓ A altitudes tem origem local (ex. marégrafo de Imbituba-SC).

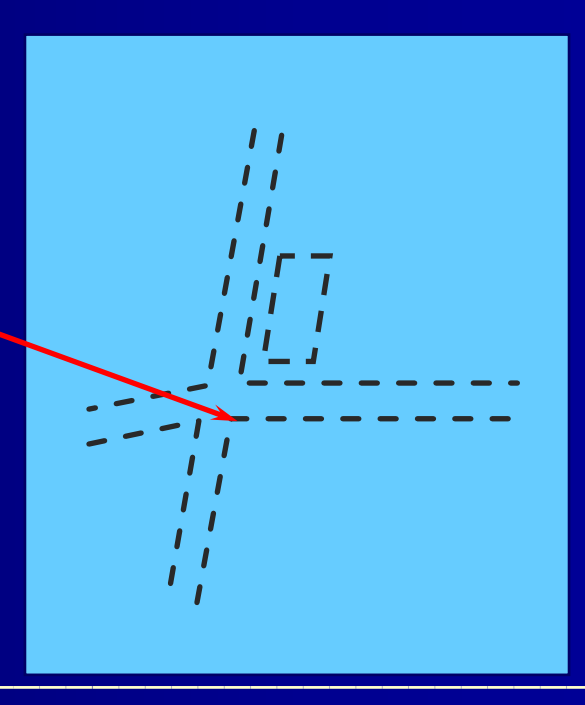


1893 - 2010 Laboratório de Topografia e Geodésia

Erro planimétrico devido à mudança de datum ou erros do sistema GPS



As diferenças podem ser de até centenas de metros





1893 - 2010 Laboratório de Topografia e Geodésia

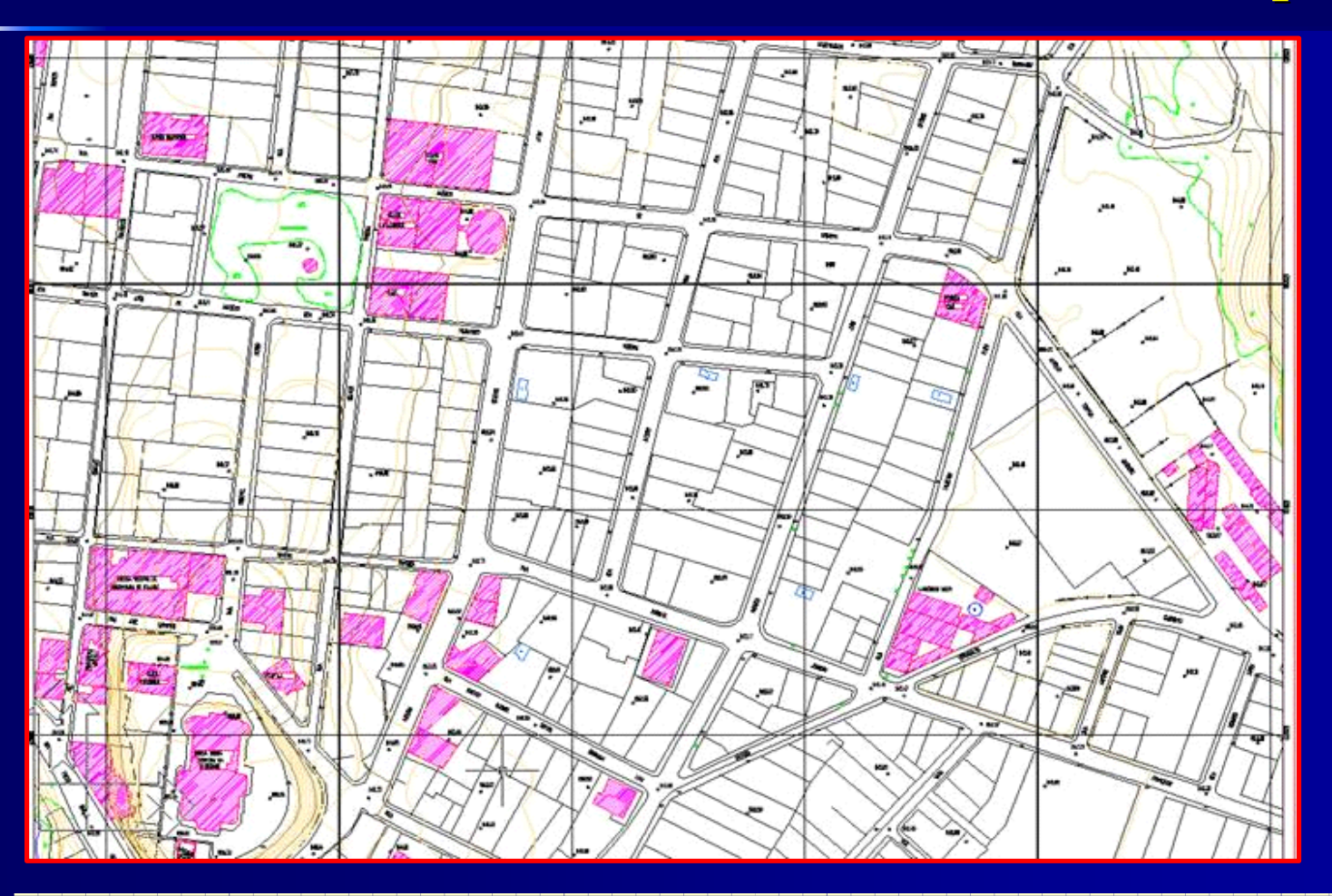
MAPEAMENTO URBANO ESCALA 1/1.000 – Foto aérea





1893 - 2010 Laboratório de Topografia e Geodésia

MAPEAMENTO URBANO ESCALA 1/1.000 – Mapa





1893 - 2010 Laboratório de Topografia e Geodésia

MAPEAMENTO URBANO ESCALA 1/1.000 – Mapa sobre foto





1893 - 2010

Laboratório de Topografia e Geodésia



Quer saber mais ...

Örbitas precisas: http://igscb.jpl.nasa.gov

Informações sobre GPS: http://tycho.usno.navy.mil/gps.html

GALILEO home-page: www.galileo-pgm.org

GLONASS home-page: http://www.glonass-center.ru/frame_e.html

PMRG/IBGE: http://www.ibge.gov.br/home/geografia/geodesico/srg/

Projeto SIRGAS:

http://www1.ibge.gov.br/home/geografia/geodesico/sirgas/principal.htm

Dados da RBMC:

http://www.ibge.gov.br/home/geografia/geodesico/rbmcpesq.shtm

Rede GPS do Estado de São Paulo:

http://www.ptr.poli.usp.br/ltg/proj/RedeSP/Rede-SP.htm





1893 - 2010

Laboratório de Topografia e Geodésia

